

Электронный архив УГЛТУ

АКАДЕМИЯ НАУК СССР
СИБИРСКОЕ ОТДЕЛЕНИЕ
Институт леса и древесины им. В.Н. Сукачева

Препринт

В. А. УСОЛЬЦЕВ

ПРИНЦИПЫ ПОЛИФАКТОРИАЛЬНОЙ
ОЦЕНКИ БИОПРОДУКТИВНОСТИ
ДРЕВОСТОЕВ

г. Красноярск, 1985

Электронный архив УГЛТУ

УДК 630^X52 : 630^X174.754

В.А.Усольцев. Принципы полифакториальной оценки биопродуктивности древостоев. Прецент Изд СО АН СССР.
Красноярск, 1985, 48 с.

Обсуждается многомерный регрессионный анализ как метод исследования биопродуктивности древостоев. Излагаются принципы составления таблиц биопродуктивности. Предложены рекуррентные системы полифакториальных регрессионных уравнений для количественной оценки фракций фитомассы сосновых, бересковых и осиновых древостоев. Выявлены возрастная динамика оптимальных и предельных густот и определяющая роль показателя якости листвы в их конкретизации.

Илл.6, библ.53.

Рецензент - к.с.-х.н. А.И.Бузыкин.

Ответственный за выпуск В.А.Усольцев.

Институт леса и древесины СО АН СССР,
Красноярск, 1985.

Исследования биологической продуктивности лесных фитоценозов проводились по Международной биологической программе, соответствуют профилю международной программы "Человек и биосфера" и отражают тенденцию экологизации лесной таксации (Антанийтис, 1985; Гельтман, Ловчий, 1985) и лесоведения (Стадницкий, 1984). Резко возросшие практические требования к точности оценки состояния лесных биогеоценозов в плане экологического прогнозирования и разработки систем мониторинга обусловливают необходимость перехода от описательных к количественным методам анализа, к формулированию основных закономерностей динамики всей фитомассы древостоев и основных ее фракций в количественной форме.

Лесной биогеоценоз как элемент биосферы представляет собой сложную динамическую систему, и единственным объективным подходом к исследованию его структуры и динамики, к оценке и регулированию его комплексной продуктивности в плане реализации принципов рационального природопользования может быть системный анализ с применением аппарата математического моделирования. Необходимость поддержания лесов в устойчивом состоянии при наличии нарастающего антропогенного воздействия на биосферу делает реализацию системного подхода к лесным биогеоценозам особенно актуальной. Исходными данными при любом виде моделирования с целью изучения экологической роли леса служат количественные показатели фитомассы лесных фитоценозов (Протопопов, 1980).

I. Многомерный регрессионный анализ как метод исследования биопродуктивности древостоев

Изучение продуктивности и структуры фитомассы древостоев представляет комплексную проблему, составляющую предмет различных научных дисциплин: экологии, лесоведения, лесной таксации, экологического древесиноведения, - которая сегодня еще далека от приемлемого решения. Это объясняется совершенно недостаточной теоретической изученностью производственного процесса лесных биогеоценозов в плане совместного исследования их структуры и функционирования. Поток публикаций, посвященных изучению биологической продуктивности древостоев, непрерывно нарастает, что обогащает науку новой информацией

и оригинальными методическими подходами, но в то же время усугубляет неоднозначность и противоречивость результатов и предложений (Grigal, Kerak, 1984). В определенной мере это является следствием недостаточной разработки методологических основ теоретической биологии (Блауберг, Юдин, 1973; Смирнов, 1978), в том числе теории биопродуктивности растительных ценозов.

С точки зрения применения количественных методов в исследованиях по биопродуктивности можно проследить четкую тенденцию перехода от формы подачи материала в исходном состоянии с элементами его систематизации к выявлению связи с одним ведущим фактором и, наконец, к объяснению изменчивости показателей фитомассы на основе многомерных методов, в частности, с использованием множественного регрессионного анализа.

В исследовании биопродукционного процесса лесного фитоценоза качественно новым этапом является имитационное моделирование, выполняемое как на энергетическом (Рачко, 1978; Ågren, 1981), так и на морфометрическом (Галицкий, Комаров, 1976; Schneider, Kreysa, 1981) уровнях. Однако отставание эмпирических знаний от могущества компьютеров зачастую обуславливает подмену конкретного знания интуицией исследователя. В прогнозировании продуктивности лесных фитоценозов пока не находят применения методы, хорошо зарекомендовавшие себя в других областях знания, в частности метод теории катастроф (Thom, Zesman, 1975; Чиллингворт, 1979), позволяющий в рамках одной математической модели описывать нарушения непрерывности развивающихся процессов, когда, казалось бы, устойчивое состояние системы скачкообразно переходит в другое устойчивое состояние под воздействием малого возмущения в точке бифуркации.

В задачах экстраполяции хорошие результаты дает метод самоорганизующихся моделей с использованием принципа внешнего дополнения (Ивахненко, 1982), но он совершенно не поддается содержательной интерпретации, что может привести к отрыву математической формы описания процесса от его биологического содержания (Шлохинский, 1978; Лиена, 1982).

Оценка того или иного метода моделирования биопродукционного процесса возможна при наличии четкой классификации математических моделей по их целевой ориентации. Последнее представляет непростую задачу, поскольку цели моделирования не менее разнообразны, чем методы, а зачастую оказывается, что модели строятся вовсе без определенной цели (Pielou, 1981). К.Е.Никишин и А.З.Швиденко (1973) полагают, что математическое моделирование в лесном хозяйстве и лесной науке выполняет заместительно-эвристическую, аппроксимационную, иллюстративную, экстраполяционно-прогностическую и другие функции. По принципам же подхода модели, применяемые в различных областях лесного дела, они условно разделяются на две обширные группы: традиционные "эмпирические", главным образом регрессионные, и модели кибернетического характера.

Анализируя полезность математических моделей в экологии, Е.К.Пилю (Pielou, 1981) расчленила все их многообразие (от динамических имитационных до функций роста дерева) в соответствии с применением на четыре группы.

а). Модели как средство объяснения динамики популяций. Объяснительная функция экологических моделей была основной исходной задачей, однако именно с ней, по мнению Е.К.Пилю, эти модели справляются хуже всего. Она подвергает сомнению правомерность постулирования ответов, построения модели на основе этих постулатов, а затем проверки и обсуждения того, является ли реально существующая система реализацией именно этой частной модели и никакой другой.

б). Модели как средство предсказания поведения экосистем, осуществляемое двумя методами: прогнозированием временного ряда и применением динамических моделей, имеющих также и объяснительную функцию.

в). Модели как генераторы новых идей и гипотез. Модели, дающие "контринтуитивный" результат, рассматриваются Е.К.Пилю как стимулятор познания: не сходство моделей с реальностью ведет к новым открытиям, а их расхождение.

г). Модели как эталоны для сравнения. Любая функция роста дерева и древостоя может рассматриваться в качестве "идеального" тренда, с которым сравнивается эмпирическая кривая роста.

Множественный регрессионный анализ Е.К.Пилю рассматри-

вает лишь как статистический прием обработки экологических данных. Она полагает, что такой анализ является лишь инструментом, призванным помочь в подготовительной работе по конструированию более реалистических моделей, основанных на дифференциальных уравнениях. Это в какой-то мере подтверждается опитом использования множественных регрессий (производственных функций Кобба-Дугласа) в качестве подмоделей в моделях глобального экологического развития (Борзов и др., 1980). Аналогичным образом регрессионные многомерные модели могут рассматриваться в качестве необходимого исходного этапа моделирования биопродукционного процесса лесного фитоценоза, его динамики, выполнив функцию вычисления основных определяющих факторов воздействия и количественной оценки их совокупного эффекта.

Тем не менее, ограничивать подобным образом область применения регрессионных моделей не представляется правомерным. Накопленный опыт множественного регрессионного моделирования применительно к лесным фитоценозам убедительно свидетельствует, что такие модели являются не просто вспомогательным инструментом или средством выгодно показать полученные результаты, а действенным методом исследования сложных многопараметрических систем, к которым относятся лесные фитоценозы. Более того, множественные регрессионные модели выполняют, в сущности, все выделенные Е.К.Пигу функции. Вычисления из комплекса действующих и взаимодействующих факторов основные, определяющие общую изменчивость искомого параметра лесного фитоценоза факторы, регрессионная модель на том или ином уровне значимости объясняет эту изменчивость и дает возможность интерпретации полученного результата. При наличии ретроспективных данных, характеризующих ту или иную составляющую продукционного процесса за длительный промежуток времени, множественная регрессионная модель в состоянии дать достаточно надежный прогноз этого процесса, особенно самоорганизующаяся модель, предполагающая использование принципа внешнего дополнения (Розенберг, Феклистов, 1982). Растущие возможности ЭВМ опережают способность исследователей адекватно их использовать, что является одной из причин получения абсурдных результатов. Компрометируя подход в целом, это, тем не менее, стимулирует поиск причин подобных "контрарти-

тивных" результатов и путем познания ошибки способствует развитию нового знания. И, наконец, регрессионные модели могут служить эталонами для сравнения. Модели динамики фитомассы дерева, опробованные за пределами региона, в котором получены исходные данные, дают возможность выявить смещения, обусловленные ранее не учтеными и не включенными в модель факторами. Особенно перспективно применение таких моделей в экологическом мониторинге лесов, а в прикладном аспекте – в качестве метода составления лесотаксационных таблиц с несколькими входами.

В классическом регрессионном анализе множественные связи показателей фитомассы с определяющими факторами обычно устанавливаются без логического обоснования, методом формального перебора. Подобрать структуру множественной регрессионной модели путем последовательного расчета парных связей на фоне стабилизированных факторов с нарастающим уровнем обобщения позволяет метод так называемого последовательного сокращения размерности, обеспечивающий также возможность содержательного анализа основополагающих закономерностей (Усольцев, 1985). Первые попытки применения названного метода в исследованиях биопродуктивности лесных фитоценозов, по-видимому, были предприняты японскими исследователями. Т.Андо (Ando , 1962), анализируя эффект плотности в уравнении "масса растения – густота", коррелирует его константы с возрастом и средней высотой древостоя. Т.Сато (satoo , 1966) найденные константы аллометрических уравнений, аппроксимирующих связь фитомассы дерева с его таксационным диаметром, связывает с высотой, средним диаметром, возрастом, густотой древостоя и степенью конкурентных отношений деревьев. Принцип последовательного сжатия информации реализуется также в экономических отраслиях знания, позволяя снизить размерность народно-хозяйственных задач на несколько порядков (Пугачев, 1968).

Факторы, определяющие продуктивность и структуру фитомассы древостоя, как правило, взаимно коррелированы, и это накладывает определенные ограничения на метод регрессионного анализа. Регрессионная модель "работает" устойчиво лишь при условии, что экспериментальный материал представлен в максимальном диапазоне вариирования каждого определяющего фактора при стабилизированных остальных. Абсолютизация корректности

применяемых методов и приемов, связанных с построением регрессионных моделей (в части смещений при линеаризации, автокорреляции ошибок и т.д.) должна иметь разумные пределы. Совершенствуя модель, необходимо соотносить требуемую корректность с фактической точностью, а требуемую точность – с возможностью ее реализации на практике.

В последующих разделах исследуются продуктивность и структура фитомассы древостоев и динамика ее количественных показателей с использованием множественных регрессионных моделей, выполненных на уровне древостоя. Эти модели включают в качестве определяющих факторов возраст и экологические характеристики местопроизрастания, опосредованно морфометрическими (таксационными) показателями, и не претендуют на роль прогностических. Они не могут дать надежных придержек относительно уровня того или иного показателя фитомассы конкретного древостоя, достигаемого к возрасту, например, количественной спелости, как и большинство таблиц хода роста (ТХР), характеризующих лишь балансовый итог прироста и отпада на тот или иной статический момент (Кравченко, 1977). Однако такие придержки могут быть даны в случае, если те или иные конечные таксационные параметры древостоя известны либо условно заданы. Тем самым прогнозирование фитомассы лесного фитоценоза сводится к параметрическому прогнозированию (Лиепа, 1980), т.е. сначала на основе типовых кривых роста древостоев (Загреев, 1978) или динамических (имитационных) моделей (Schneider, Kuegel, 1981) предсказываются соответствующие параметры древостоя, а по ним с использованием множественных регрессий – фитомасса. Это дает возможность при составлении таблиц биопродуктивности использовать имеющиеся лесотаксационные нормативы и закономерности и предотвратить дублирование крайне трудоемкого процесса получения экспериментальных данных по фитомассе. Тем самым методические основы разрабатываемого подхода можно отнести к области лесной таксации, а результаты и их интерпретация составляют вклад в дальнейшее развитие теории биопродуктивности и устойчивости лесных фитоценозов.

2. Принципы составления таблиц биопродуктивности

Идея составления таблиц биопродуктивности древостоев с

использованием обширного накопленного лесной таксацией архива ТХР не нова, однако методы ее реализации пока развиты слабо. Имеется опыт составления таблиц биопродуктивности на основе множественных регрессий более или менее удачный и к таковому не относящийся. Примером первого могут служить таблицы А.А.Онутича и А.Н.Борисова (1984), которые по форме далеки от ТХР, но принципиально дают методическую основу для привязки к ним. Ко второму, по-видимому, можно отнести таблицу Т.Х.Токмурзина и К.Н.Нуриенсова (1976), которые при построении модели хода роста фитомассы сосновых древостоев Прииртышья использовали три фактора: возраст, класс бонитета и полноту. Они не излагают метода построения моделей, и трудно объяснить причину столь низкой детерминации последних ($R^2 = 0,014$) даже для наименее изменчивой фракции – массы ствола. Возможно, что одной из причин является неудачный выбор структуры модели – уравнения Кобба-Дугласа, представляющего для этой цели довольно жесткую схему. Не оправдано и включение в модель фактора полноты, обычно используемого при моделировании запасов древостоя, но в случае массы кроны, как ранее было установлено Т.Х.Токмурзиным и С.Б.Байзаковым (1970), давшего худшие результаты в сравнении с густотой.

Автором с использованием уравнения Кобба-Дугласа был выполнен (Усольцев и др., 1979) много-мерный регрессионный анализ экспериментальных данных А.С.Атина по фитомассе (т/га) соснов Казахского мелкосопочника в возрасте от 18 до 70 лет с относительной густотой z от 0,2 до 2,3, полученных на 27 пробных площадях. Оказалось, что изменчивость результативного признака объясняется возрастом и густотой на 95 % по стволу, на 77 % – по ветвям и лишь на 32% – по хвое. Во всех случаях влияние густоты, а в последнем – и возраста, оказалось недостоверным. По-видимому, здесь проявилось влияние неучтенных определяющих факторов и неудачной структуры модели. Позднее были предложены таблицы биопродуктивности березы и осины (Усольцев, Кричун, 1982), совмещенные с ТХР для Северного Казахстана и построенные без учета густоты для совокупности сомкнутых древостоев на основе многофакторных регрессионных моделей, описывающих динамику фракций фитомассы на 1 га в зависимости от возраста и класса бонитета. Впоследствии модели были модифицированы (Усольцев, 1983,

1985а) путем включения дополнительного фактора — относительной густоты, что давало возможность более корректно совместить таблицы биопродуктивности с ТХР для данного региона посредством табулирования моделью динамики фитомассы по заданным значениям возраста и класса бонитета при относительной густоте 1,0. Высокие показатели детерминации (как правило, не ниже 0,9) объясняются, помимо удачного выбора структуры моделей, использованием рядов распределения деревьев по диаметру в возрастной динамике по классам бонитета. Эти ряды построены на массовом экспериментальном материале по 194 пробным площадям березы и 50 — осины (Усольцев, Кричун, 1982) и соответствуют нормальным древостоям. Полученные по типовым рядам распределения деревьев и выравненным данным поддеревной фитомассы значения массы фракций на 1 га представляют плавные кривые возрастной динамики биопродуктивности для каждого класса бонитета. Они сыграли роль "руководящих" кривых и обеспечили высокую адекватность моделей.

Однако и этот вариант нельзя признать совершенным, поскольку модели фитомассы в этом случае увязываются с ТХР только при условии идентичной связи полноты с густотой в статистике на объектах, положенных в основу при составлении тех и других таблиц. Вследствие варьирования среднего диаметра древостоеев называемая связь нарушается. Для описания подобных отклонений в число определяющих факторов должен быть включен средний диаметр древостоя. Тем самым полнота становится одним из ведущих факторов, но вводится в модель в качестве иного вида и на более высоком информативном уровне — как совокупность густоты и среднего диаметра древостоя.

Но и такое сочетание факторов полностью не обеспечивает адекватной (по крайней мере в морфометрическом плане, без учета "энергетики" лесного биогеоценоза, определяющей динамику плотности и влажности различных фракций фитомассы) привязки моделей биопродуктивности к ТХР, поскольку остается не учтенный варьирование видового числа. Последнее может быть реализовано включением в регрессионную модель запаса стволовой древесины, который входит в число обычно рассчитываемых показателей пробных площадей, а видовое число получают расчетным путем по известным запасу, густоте и среднему диаметру ствола. Таким образом, мы пришли к исходной позиции Л.К.

Позднякова с соавт. (1969), Т.Х.Токмурзина и К.Н.Нурпесова (1976), В.В.Протопопова и В.И.Зубиной (1977), А.А.Биучина и А.Н.Борисова (1984), которые при составлении таблиц фитомассы древостоеев относили показатели массы фракций к запасу стволовой древесины. Однако методическая сторона построения и структура регрессионных моделей для подобных относительных показателей фитомассы с целью привязки к ТХР до сих пор оставалась практическим не разработанной.

В плане развития обсуждаемого подхода на основе предварительного содержательного анализа экспериментальных данных, методика получения которых автором изложена ранее (Усольцев, 1985б), предлагаются регрессионные модели динамики фитомассы для сосны (1), березы (2) и осины (3):

$$\lg(p_i/M) = a_0 + a_1 \lg A + a_2 \lg^2 A + a_3 \lg^3 A + a_4 \lg H_{100} + \\ + a_5 \lg^2 H_{100} + a_6 \lg^2 N + a_7 \lg^2 D_{cp} + a_9 \lg A \lg N + \\ + a_{10} \lg A \lg D_{cp} + a_{11} \lg N \lg D_{cp} + a_{12} \lg^2 A \lg H_{100} + \\ + a_{13} \lg^2 A \lg N + a_{14} \lg^2 A \lg D_{cp} + a_{15} \lg^3 A \lg N; \quad (1)$$

$$\lg(p_i/M) = a_0 + a_1 \lg A + a_2 \lg^2 A + a_3 \lg^3 A + a_4 \lg H_{50} + \\ + a_5 \lg^2 H_{50} + a_6 \lg N + a_7 \lg^2 N + a_8 \lg D_{cp} + a_9 \lg A \lg N + \\ + a_{10} \lg A \lg D_{cp} + a_{11} \lg N \lg D_{cp}; \quad (2)$$

$$\lg(p_i/M) = a_0 + a_1 \lg A + a_2 \lg^2 A + a_3 \lg H_{50} + a_4 \lg^2 H_{50} + \\ + a_5 \lg N + a_6 \lg^2 N + a_7 \lg D_{cp} + a_8 \lg A \lg N + \\ + a_9 \lg A \lg D_{cp} + a_{10} \lg N \lg D_{cp} + a_{11} \lg A \lg H_{50} + \\ + a_{12} \lg^2 A \lg H_{50}, \quad (3)$$

где p_i — масса i -й фракции в абсолютно сухом состоянии, т/га; M — запас, $m^3/\text{га}$; A — возраст, лет; H_{50} и H_{100} — класс бонитета, выраженный высотой древостоя (м) в базовом возрасте 50 и 100 лет, соответственно; N — число стволов, тыс.экз./га; D_{cp} — средний диаметр древостоя, см.

Область применения регрессий (1)–(3) определяется полями распределения пробных площадей по основным таксационным показателям, или определяющим факторам (табл. I и 2). Отсутствие данных для березы с густотой $z > 1$ в возрасте 61–90 лет отражает реальные условия: если в возрасте до 40 лет

Таблица I

Распределение пробных площадей, заложенных в сосновках Северного Казахстана, по классам возраста, густоты и бонитета

Относи- тельная густота	Класс бони- тета	Классы возраста					Всего
		I	II	III	IV	V-VI	
0,5	Ia-I	2	5	I	-	-	8
	II-III	9	4	-	-	2	15
	IV-V	2	I	-	-	-	3
1,0	Ia-I	-	2	I	I	-	4
	II-III	I	I	3	2	2	9
	IV-V	I	-	-	-	I	2
1,5	Ia-I	-	-	I	I	-	2
	II-III	I	6	I	2	3	13
	IV-V	-	2	3	I	2	8
Итого		16	21	10	7	10	64

древостоем с густотой, превышающей нормативную по ТХР (Усольцев, Кричун, 1982), представлены достаточно хорошо, то в возрасте 61-90 лет такие загущенные древостои отсутствуют, поскольку они в этом возрасте при составлении ТХР рассматривались как нормальные, соответствующие густоте $z = 1,0$. Таким образом, область применения регрессий (2)-(3) определяется указанными в табл. 2 значениями густот и классов бонитета с ограничением по возрасту для березняков нормальных и редкостных 90, перегущенных 60 и осинников 50 годами, а регрессии (1) - практически всем диапазоном показателей (табл. 1). Наличие некоторых пробелов в пределах целей распределения пробных площадей при многомерном регрессионном анализе не накладывает дополнительных ограничений, поскольку многомерные модели предполагают, во-первых, интерполяцию в пределах фактического материала и, во-вторых, наличие согласованности кривых по тому или иному фактору при вычисленном воздействии прочих факторов.

Модели (1) получены путем аппроксимации эксперименталь-

Таблица 2

Распределение пробных площадей, заложенных в березняках и осинниках колочных лесов Северного Казахстана, по классам возраста, густоты и бонитета

Относи- тельная густота	Класс бони- тета	Классы возраста						Все- го	
		I-II	III	IV	V	VI	VII	VIII-IX	
Береза									
0,5	I-II	I	-	-	-	-	I	-	2
	III	-	I	-	2	2	2	3	10
	IV	-	-	-	I	I	I	-	3
1,0	I-II	I	I	I	-	-	-	2	5
	III-IV	I	I	I	-	3	I	2	9
	V	2	2	2	-	-	-	-	6
1,5	II	2	2	3	I	-	-	-	8
	III-IV	-	-	I	-	I	-	-	2
Итого		7	7	8	4	7	5	7	45
Осина									
0,5	Ia-I	-	-	I	I	-	-	-	2
	II	I	I	I	I	-	-	-	4
	III-IV	I	-	I	I	-	-	-	3
1,0	Ia-I	2	I	2	2	-	-	-	7
	II	-	I	-	I	-	-	-	2
	III-IV	I	2	I	I	-	-	-	5
1,5	Ia-I	I	I	2	2	-	-	-	6
	II	-	-	-	I	-	-	-	1
	III-IV	I	I	-	-	-	-	-	2
Итого		7	7	8	10	-	-	-	32

ных данных фитомассы пробных площадей, а для расчета (2) и (3) кроме них дополнительно привлечены уже упоминавшиеся расчетные значения, полученные на основе рядов распределения деревьев, составленных В.М.Кричуном для ТХР березы и осины Северного Казахстана. Для расчета показателей общей массы корней и тонкой их фракции на 1 га для сосны использу-

зовани уравнения вида

$$P_i = a_0 A^{a_1} D^{a_2} H^{a_3}, \quad (4)$$

предложенные нами ранее (Усольцев и др., 1985). В уравнении (4): P_i - масса i -й фракции корней, кг; A - возраст, лет; D - диаметр ствола на высоте груди, см; H - высота дерева, м. Показатели массы корней рассчитаны путем табулирования (4) по фактическим значениям возраста, среднего диаметра и средней высоты древостоев пробных площадей с последующим умножением результатов на число стволов на 1 га и затем аппроксимированием по модели (1). Наряду с показателями биологической продуктивности, выраженным в единицах массы в абсолютном сухом состоянии, по моделям (1)-(3) рассчитаны также показатели массы древесной зелени (ДЗ) и всей кроны (Табл. 3 и 4), характеризующие вместе с запасом стволовой древесины ($m^3/га$) так называемую хозяйственную продуктивность (в свежесрубленном состоянии).

Сравнительно меньшие коэффициенты детерминации для массы ствола и большие - для хвои в моделях (1)-(3) в сравнении с ранее опубликованными (Усольцев, Кричун, 1982; Усольцев, 1985а) объясняются тем, что в данном случае аппроксимировались не абсолютные показатели P_i , а отношения P_i/M . Из всех показателей фитомассы наиболее тесно коррелирует с объемом ствола его масса и в меньшей степени - показатели массы кроны, а изменчивость показателя, выраженного отношением тесно коррелирующих признаков, в меньшей мере может быть объяснена окзо- и эндогенными факторами, чем в случае слабо коррелирующих признаков (Усольцев, Крепкий, 1984). Поэтому уравнения для отношения массы стволовой древесины к запасу ($P_{ств}/M$), представляющего базовую (условную) плотность ствола в коре, в сравнении с уравнениями для других относительных показателей характеризуются наиболее низкими коэффициентами детерминации - $R^2 = 0,349-0,666$ (табл. 3 и 4). Назначение коэффициентов, безусловно, были бы выше, если структуру моделей (1)-(3) изменить путем переноса фактора M в правую часть уравнения. Но тогда фактор M взял бы на себя большую долю изменчивости показателей фитомассы, и на его фоне многие из остальных факторов (A , N , H_{100} , D_{cp}) оказались бы незначимыми, хотя определенный вклад в объяснение измен-

Таблица 3
Характеристика уравнений (1) зависимости относительных показателей (P_i/M) фитомассы состоя от определенных факторов

Обозначение констант или факторов и показатели и показатели алгебраичности уравнений	Фитомасса в абсолютном сухом состоянии, т/га						Фитомасса кроны в свежем состо- янии, т/га		
	ствол	ветви		хвоя		корни		всего	в т.ч. коры
		всего	в т.ч. коры	всего	в т.ч. коры	всего	в т.ч. < 1 мм		
I	2	3	4	5	6	7	8	9	10
a ₀	0,9498	1,8075	3,4110	2,9644	2,3368	2,3963	2,7158	2,0289	2,5587
a ₁ (16 A)	-4,1280	-	-1,6087	-1,3841	-3,9790	-1,6165	-1,9625	-1,9663	-3,5781
a ₂ (162A)	3,5447	-0,6989	-	-	0,7043	-0,1470	-	-	-
a ₃ (163A)	-0,9008	-	-	-	-1,6157	-	-	-	0,6036
a ₄ (16 H100)	-	-1,9846	-1,9060	-1,7457	-0,3837	-0,7704	-0,7876	-0,7964	-0,3832
a ₅ (16 ² H100)	-	-	-0,1176	-0,6760	-0,7271	-0,0798	-	-0,6515	-0,6530
a ₇ (16 ² N)	-	-	-0,4172	-	-	1,3344	0,9067	1,7689	-
a ₈ (16 D _{cp})	2,0214	-	-0,4172	-	-	0,2763	-	4,6156	3,2147
a ₉ (16 A ₁ G _N)	-	-	-	-	-3,3730	-0,7171	-	-	2,6560
a ₁₀ (16 A ₁ G _D _{cp})	-2,6203	-	-0,4198	-0,4442	-1,7083	-0,2157	-	-0,7103	-1,4640
a ₁₁ (16 ² A ₁ G _D _{cp})	-	-	-0,3732	-	-	-	-	-	-
a ₁₂ (16 ² A ₁ G _{H100})	-	-	-0,3732	-	-	-	-	-	-

* Все параметры сняты на 10-подиционном языке.

	1	2	3	4	5	6	7	8	9	10
$a_{13}(1g^2, 1g^N)$	-	-	-	-	-	-	-	-	-	-
$a_{14}(1g^2, 1g^N)$	-	-	-	-	-	-	-	-	-	-
$a_{15}(1g^2, 1g^N)$	-	-	-	-	-	-	-	-	-	-
$a_{16}(1g^2, 1g^N)$	-	-	-	-	-	-	-	-	-	-
$a_{17}(1g^2, 1g^N)$	-	-	-	-	-	-	-	-	-	-
$a_{18}(1g^2, 1g^N)$	-	-	-	-	-	-	-	-	-	-
$a_{19}(1g^2, 1g^N)$	-	-	-	-	-	-	-	-	-	-
$a_{20}(1g^2, 1g^N)$	-	-	-	-	-	-	-	-	-	-
$a_{21}(1g^2, 1g^N)$	-	-	-	-	-	-	-	-	-	-
$a_{22}(1g^2, 1g^N)$	-	-	-	-	-	-	-	-	-	-
$a_{23}(1g^2, 1g^N)$	-	-	-	-	-	-	-	-	-	-
$a_{24}(1g^2, 1g^N)$	-	-	-	-	-	-	-	-	-	-
$a_{25}(1g^2, 1g^N)$	-	-	-	-	-	-	-	-	-	-
$a_{26}(1g^2, 1g^N)$	-	-	-	-	-	-	-	-	-	-
$a_{27}(1g^2, 1g^N)$	-	-	-	-	-	-	-	-	-	-
$a_{28}(1g^2, 1g^N)$	-	-	-	-	-	-	-	-	-	-
$a_{29}(1g^2, 1g^N)$	-	-	-	-	-	-	-	-	-	-
$a_{30}(1g^2, 1g^N)$	-	-	-	-	-	-	-	-	-	-

3. Проверка единаково

таблица 4
 P / M фитомассы

Характеристика уравнений (2) и (3) зависимости относительных показателей деревьев и осин от определенных факторов

Означение констант при факторах и показателях алгебраичности уравнений	Фитомасса в абсолютном сухом состоянии, т/га			Фитомасса кроны в свежем состо- янии, т/га			весло	
	ством	ветви		листья		в т. ч. ДЗ		
		всего	в т. ч. кора	всего	в т. ч. кора			
a_1	1	2	3	4	5	6	7	8
a_2	-0,5191	-1,6013	1,1207	2,4428	-2,3360	1,3288	-1,4816	-
a_3	-	5,4690	-3,0465	-4,5843	-	-	-	-
a_4	-0,6093	-5,0526	0,6697	1,1230	-	-2,4115	-	-
a_5	0,2931	1,1343	-	-	-	0,8255	-	-
a_6	-	0,2975	-	-	-	-	-	-
a_7	-2,0723	-0,2891	-0,2778	-0,2883	-0,2812	-0,2551	-	-
a_8	-0,2219	1,6243	-	-	3,9640	-	3,4529	-
a_9	-0,1527	-0,0095	-	-	-1,4444	-0,4316	-1,2618	-
a_{10}	-2,5925	1,2258	0,8951	2,7562	1,1147	2,5455	-	-
a_{11}	1,6999	-	-	-	1,1035	-	-	-
a_{12}	0,6966	1,2308	-	-	-1,0498	-	-1,0954	-
a_{13}	-0,7141	1,4976	-	-	-	-	-	-
a_{14}	0,146	0,8174	-	-	-	-	-	-
a_{15}	0,174	-	-	-	-	-	-	-
a_{16}	0,146	0,8174	-	-	-	-	-	-
a_{17}	0,174	-	-	-	-	-	-	-
a_{18}	0,146	0,8174	-	-	-	-	-	-
a_{19}	0,174	-	-	-	-	-	-	-
a_{20}	0,146	0,8174	-	-	-	-	-	-
a_{21}	0,174	-	-	-	-	-	-	-
a_{22}	0,146	0,8174	-	-	-	-	-	-
a_{23}	0,174	-	-	-	-	-	-	-
a_{24}	0,146	0,8174	-	-	-	-	-	-
a_{25}	0,174	-	-	-	-	-	-	-
a_{26}	0,146	0,8174	-	-	-	-	-	-
a_{27}	0,174	-	-	-	-	-	-	-
a_{28}	0,146	0,8174	-	-	-	-	-	-
a_{29}	0,174	-	-	-	-	-	-	-
a_{30}	0,146	0,8174	-	-	-	-	-	-

чиности относительных показателей фитомассы они, по-видимому, вносят.

Путем аппроксимирования моделей (1)-(3) по таксационным показателям A , n , H_{100} , n_{cp} , заимствованным из ТХР сосни, березы и осины, составленных для Северного Казахстана А.А. Макаренко и В.М.Кричуном (Справочник...,1980), получены таблицы биопродуктивности при полноте 1,0(табл.5-7). В лесоустроительной практике необходимы таблицы биопродуктивности для различных полнот, особенно в березняках и осинниках. Сосняки обычно характеризуются высокими полнотами: даже при $z=0,3$ - 0,5 полнота близка к 1,0. Для составления таблиц биопродуктивности для низкополнотных сосняков необходимо дополнительный экспериментальный материал. Масса кроны при полноте, меньшей 1,0, не может быть получена простым редуцированием соответствующего показателя при полноте 1,0. Для табулирования моделей (2)-(3) с целью получения таблиц биопродуктивности для полнот, меньших 1,0, необходимо знать для каждого класса возраста при заданной полноте соотношение среднего диаметра и числа стволов на 1 га. В этой связи принят следующий порядок составления таблиц.

По экспериментальным данным пробных площадей получены зависимости суммы площадей сечений древостоя G ($m^2/га$) от возраста, класса бонитета и относительной густоты для березы (5) и осины (6) :

$$1g G = -0,525 + 0,961 1g^2 A - 0,336 1g^3 A + 0,640 1g H_{50} + \\ + 0,250 1g z - 0,236 1g^2 z; \quad \sigma = \pm 0,076; \quad R^2 = 0,848; \quad (5)$$

$$1g G = -0,967 + 1,343 1g A - 0,129 1g^3 A + 0,630 1g H_{50} - \\ - 1,276 1g^2 z; \quad \sigma = \pm 0,074; \quad R^2 = 0,968 \quad (6)$$

Для каждого класса бонитета уравнения (5) и (6) протабулированы по заданным градациям z и A и построены графики (рис.1 и 2). Суммы площадей сечений, соответствующие относительным полнотам 0,1; 0,3; 0,5; 0,7; 0,85; 0,95 по классам бонитета и возраста, соединены вертикальными линиями (рис.1 и 2). Оказалось, что заданному значению относительной полноты в пределах одной породы независимо от класса бонитета и возраста соответствует только одно значение z . Например, в березняках относительной полноте 0,7 соответствует $z = 0,35$.

		Продолжение таблицы 4							
		1	2	3	4	5	6	7	8
s _{II} (1ḡ 1g D _{cp})	-0,9315	-	-1,3251	-	-3,1735	-1,5974	-2,9033		
$\pm \frac{G}{R^2}$	0,023	0,033	0,078	0,077	0,105	0,073	0,103		
a ₁ (1g A)	-2,9838	0,617	0,733	0,758	0,803	0,752	0,763		
a ₂ (1g II A)	-	-	-	-	-	-	-		
a ₃ (1g II B)	-4,3851	-	-0,1978	-	-	-	-		
a ₄ (1g II C)	-1,7353	-	-0,4827	-	-0,4930	-0,1374	-		
a ₅ (1g N)	-4,2436	-	-0,7358	-	-	-	-		
a ₆ (1g N)	0,7912	-	-	-	-	-	-		
a ₇ (1g D _{cp})	-3,7500	-	-1,0393	-	-	-0,2335	-		
a ₈ (1g A 1g N)	-1,9402	0,5562	-0,4054	-0,3956	-	-0,5180	-		
a ₉ (1g A 1g D _{cp})	2,3494	0,7498	-	-	-	-0,7343	-0,4771	-0,7432	
a ₁₀ (1g N 1g D _{cp})	0,9590	-	-	-	-	-0,4463	-	-0,4514	
a ₁₂ (1g A 1g II C)	-	-	-	-	-	-0,4039	-		
$\pm \frac{G}{R^2}$	0,029	0,035	0,079	0,083	0,079	0,086	0,082		
	0,666	0,567	0,862	0,898	0,924	0,717	0,923		

Зоніз таблице блокаджевской промисленості солісей та сооружен боров Казахстана.

Литература

ОКОНЧАНИЕ ТАБЛИЦЫ 5

I	2	3	4	5	6	7	8	9	10	II	12	13	14	15	16
II класс бомбета															
20	4,4	3,5	15904	15,3	47	17,4	4,0	2,8	1,8	5,7	11,5	5,1	41,0	17,1	15,8
40	II,7	II,7	3092	27,8	169	63,9	7,4	8,6	3,4	37,2	26,1	5,3	II5,0	29,7	15,5
60	II,7	6,6	1446	34,4	291	III	8,7	13,0	4,2	46,3	30,3	5,2	175,5	43,1	15,3
80	II,9	23,7	880	38,8	397	151	9,9	17,7	5,1	55,9	34,1	5,6	230,2	59,1	16,6
100	24,9	29,5	612	41,8	479	182	10,7	21,5	5,7	62,6	35,8	6,0	272,1	70,4	18,7
120	27,0	34,9	462	44,2	544	206	II,5	24,6	6,1	67,9	36,5	6,7	305,2	75,9	21,5
III класс бомбета															
20	3,7	2,9	20909	13,8	38	14,2	3,8	2,4	1,6	13,3	9,6	4,9	34,8	16,5	15,1
40	9,9	8,8	4127	25,1	133	51,8	6,7	6,8	2,9	30,6	21,9	4,6	93,8	23,7	13,5
60	14,9	14,4	1909	31,1	229	89,4	7,7	10,4	3,7	39,3	26,8	4,5	143,6	33,9	13,1
80	18,6	19,5	1172	35,0	311	121	8,3	13,6	4,2	45,2	29,4	4,7	164,5	43,6	13,8
100	21,1	24,3	839	37,7	373	144	8,7	16,2	4,6	50,9	31,2	4,9	216,0	51,7	14,9
120	22,9	28,8	612	39,9	424	161	9,1	19,0	5,1	54,6	32,2	5,6	240,2	56,2	17,4
IV класс бомбета															
20	3,0	2,3	2963	12,3	31	II,7	3,5	1,9	1,4	10,6	7,4	4,8	29,0	15,9	14,8
40	8,1	7,0	5816	22,4	102	4I,I	6,5	6,0	2,7	28,0	20,4	4,4	79,5	21,9	12,6
60	12,2	11,4	2713	27,7	173	69,8	6,7	8,0	3,1	31,6	22,6	3,9	II3,3	25,8	II,2
80	15,1	15,5	1652	31,2	232	92,4	7,0	10,9	3,7	37,8	26,2	4,I	145,2	33,9	II,7
100	17,2	19,3	1150	33,7	280	TC9	7,0	13,2	4,I	42,0	28,3	4,4	168,6	40,1	12,7
						TC9	7,0	13,2	4,I	42,0	28,3	4,4	168,6	40,1	12,7

Продолжение таблицы 6

I	2	3	4	5	6	7	8	9	10	11	12	13	14
40	14,0	12,2	1925	22,5	142	71,2	14,0	12,9	5,0	3,5	87,6	31	14
60	17,3	16,5	12II	25,9	195	96,8	18,5	19,1	6,7	3,8	119,7	42	14
80	19,0	19,8	900	27,7	225	112	22,3	24,5	8,3	3,6	140,1	53	14
20	16,7	15,4	1363	34,2	3461	17,4	77	42,0	8,7	9,2	8,0	20	9,2
40	20,5	20,9	851	376	177	103	18,6	20,0	7,3	9,3	4,4	20	9,2
60	22,6	25,0	629	32,6	187	149	24,8	29,2	9,8	4,4	18,5	40	19,7
80	25,1	31,1	31	32,6	153	199	33,4	46,4	9,9	3,0	18,5	40	19,7
20	27	30	30	30,3	157	7,7	292,2	123	54,3	5,4	6,4	20	10,9
40	30	33	33	30,3	40,7	12,0	126,1	84	40,9	2,6	6,4	20	7,6
60	33	36	36	31,3	40,7	12,0	156,1	21	4849	15,6	6,4	20	7,6
80	36	39	39	31,3	40,7	12,0	156,1	21	4849	15,6	6,4	20	7,6
20	40	43	43	31,3	40,7	12,0	156,1	21	4849	15,6	6,4	20	7,6
40	43	46	46	31,3	40,7	12,0	156,1	21	4849	15,6	6,4	20	7,6
60	46	49	49	31,3	40,7	12,0	156,1	21	4849	15,6	6,4	20	7,6
80	49	52	52	31,3	40,7	12,0	156,1	21	4849	15,6	6,4	20	7,6
20	52	55	55	31,3	40,7	12,0	156,1	21	4849	15,6	6,4	20	7,6
40	55	58	58	31,3	40,7	12,0	156,1	21	4849	15,6	6,4	20	7,6
60	58	61	61	31,3	40,7	12,0	156,1	21	4849	15,6	6,4	20	7,6
80	61	64	64	31,3	40,7	12,0	156,1	21	4849	15,6	6,4	20	7,6
20	64	67	67	31,3	40,7	12,0	156,1	21	4849	15,6	6,4	20	7,6
40	67	70	70	31,3	40,7	12,0	156,1	21	4849	15,6	6,4	20	7,6
60	70	73	73	31,3	40,7	12,0	156,1	21	4849	15,6	6,4	20	7,6
80	73	76	76	31,3	40,7	12,0	156,1	21	4849	15,6	6,4	20	7,6
20	76	79	79	31,3	40,7	12,0	156,1	21	4849	15,6	6,4	20	7,6
40	79	82	82	31,3	40,7	12,0	156,1	21	4849	15,6	6,4	20	7,6
60	82	85	85	31,3	40,7	12,0	156,1	21	4849	15,6	6,4	20	7,6
80	85	88	88	31,3	40,7	12,0	156,1	21	4849	15,6	6,4	20	7,6
20	88	91	91	31,3	40,7	12,0	156,1	21	4849	15,6	6,4	20	7,6
40	91	94	94	31,3	40,7	12,0	156,1	21	4849	15,6	6,4	20	7,6
60	94	97	97	31,3	40,7	12,0	156,1	21	4849	15,6	6,4	20	7,6
80	97	100	100	31,3	40,7	12,0	156,1	21	4849	15,6	6,4	20	7,6
20	100	103	103	31,3	40,7	12,0	156,1	21	4849	15,6	6,4	20	7,6
40	103	106	106	31,3	40,7	12,0	156,1	21	4849	15,6	6,4	20	7,6
60	106	109	109	31,3	40,7	12,0	156,1	21	4849	15,6	6,4	20	7,6
80	109	112	112	31,3	40,7	12,0	156,1	21	4849	15,6	6,4	20	7,6
20	112	115	115	31,3	40,7	12,0	156,1	21	4849	15,6	6,4	20	7,6
40	115	118	118	31,3	40,7	12,0	156,1	21	4849	15,6	6,4	20	7,6
60	118	121	121	31,3	40,7	12,0	156,1	21	4849	15,6	6,4	20	7,6
80	121	124	124	31,3	40,7	12,0	156,1	21	4849	15,6	6,4	20	7,6
20	124	127	127	31,3	40,7	12,0	156,1	21	4849	15,6	6,4	20	7,6
40	127	130	130	31,3	40,7	12,0	156,1	21	4849	15,6	6,4	20	7,6
60	130	133	133	31,3	40,7	12,0	156,1	21	4849	15,6	6,4	20	7,6
80	133	136	136	31,3	40,7	12,0	156,1	21	4849	15,6	6,4	20	7,6
20	136	139	139	31,3	40,7	12,0	156,1	21	4849	15,6	6,4	20	7,6
40	139	142	142	31,3	40,7	12,0	156,1	21	4849	15,6	6,4	20	7,6
60	142	145	145	31,3	40,7	12,0	156,1	21	4849	15,6	6,4	20	7,6
80	145	148	148	31,3	40,7	12,0	156,1	21	4849	15,6	6,4	20	7,6
20	148	151	151	31,3	40,7	12,0	156,1	21	4849	15,6	6,4	20	7,6
40	151	154	154	31,3	40,7	12,0	156,1	21	4849	15,6	6,4	20	7,6
60	154	157	157	31,3	40,7	12,0	156,1	21	4849	15,6	6,4	20	7,6
80	157	160	160	31,3	40,7	12,0	156,1	21	4849	15,6	6,4	20	7,6
20	160	163	163	31,3	40,7	12,0	156,1	21	4849	15,6	6,4	20	7,6
40	163	166	166	31,3	40,7	12,0	156,1	21	4849	15,6	6,4	20	7,6
60	166	169	169	31,3	40,7	12,0	156,1	21	4849	15,6	6,4	20	7,6
80	169	172	172	31,3	40,7	12,0	156,1	21	4849	15,6	6,4	20	7,6
20	172	175	175	31,3	40,7	12,0	156,1	21	4849	15,6	6,4	20	7,6
40	175	178	178	31,3	40,7	12,0	156,1	21	4849	15,6	6,4	20	7,6
60	178	181	181	31,3	40,7	12,0	156,1	21	4849	15,6	6,4	20	7,6
80	181	184	184	31,3	40,7	12,0	156,1	21	4849	15,6	6,4	20	7,6
20	184	187	187	31,3	40,7	12,0	156,1	21	4849	15,6	6,4	20	7,6
40	187	190	190	31,3	40,7	12,0	156,1	21	4849	15,6	6,4	20	7,6
60	190	193	193	31,3	40,7	12,0	156,1	21	4849	15,6	6,4	20	7,6
80	193	196	196	31,3	40,7	12,0	156,1	21	4849	15,6	6,4	20	7,6
20	196	199	199	31,3	40,7	12,0	156,1	21	4849	15,6	6,4	20	7,6
40	199	202	202	31,3	40,7	12,0	156,1	21	4849	15,6	6,4	20	7,6
60	202	205	205	31,3	40,7	12,0	156,1	21	4849	15,6	6,4	20	7,6
80	205	208	208	31,3	40,7	12,0	156,1	21	4849	15,6	6,4	20	7,6
20	208	211	211	31,3	40,7	12,0	156,1	21	4849	15,6	6,4	20	7,6
40	211	214	214	31,3	40,7	12,0	156,1	21	4849	15,6	6,4	20	7,6
60	214	217	217	31,3	40,7	12,0	156,1	21	4849	15,6	6,4	20	7,6
80	217	220	220	31,3	40,7	12,0	156,1	21	4849	15,6	6,4	20	7,6
20	220	223	223	31,3	40,7	12,0	156,1	21	4849	15,6	6,4	20	7,6
40	223	226	226	31,3	40,7	12,0	156,1	21	4849	15,6	6,4	20	7,6
60	226	229	229	31,3	40,7	12,0	156,1	21	4849	15,6	6,4	20	7,6
80	229	232	232	31,3	40,7	12,0	156,1	21	4849	15,6	6,4	20	7,6
20	232	235	235	31,3	40,7	12,0	156,1	21	4849	15,6	6,4	20	7,6
40	235	238	238	31,3	40,7	12,0	156,1	21	4849	15,6	6,4	20	7,6
60	238	241	241	31,3	40,7	12,0	156,1	21	4849	15,6	6,4	20	7,6
80	241	244	244	31,3	40,7	12,0	156,1	21	4849	15,6	6,4	20	7,6
20	244	247	247	31,3	40,7	12,0	156,1	21	4849	15,6	6,4	20	7,6
40	247	250	250	31,3	40,7	12,0	156,1	21	4849	15,6	6,4	20	7,6
60	250	253	253	31,3	40,7	12,0	156,1	21	4849	15,6	6,4	20	7,6
80	253	256	256	31,3	40,7	12,0	156,1	21	4849	15,6	6,4	20	7,6
20	256	259	259	31,3	40,7	12,0	156,1	21	4849	15,6	6,4	20	7,6
40	259	262	262	31,3	40,7	12,0	156,1	21	4849	15,6	6,4	20	7,6
60	262	265	265	31,3	40,7	12,0	156,1	21	4849	15,6	6,4	20	7,6
80	265	268	268	31,3	40,7	12,0	156,1	21	4849	15,6	6,4	20	7,6
20	268	271	271	31,3	40,7	12,0	156,1	21	4849	15,6	6,4	20	7,6
40	271	274	274	31,3	40,7	12,0	156,1	21	4849	15,6	6,4	20	7,6
60	274	277	277										

Scalpitis metacrinis glaucomaculonitens concolor. Hippoboscidae. Molophilidae. Ascalaphidae. Gelechiidae. Tachinidae.

Окончание таблицы 6

Продолжение таблицы 6

I	2	3	4	5	6	7	8	9	10	II	12	13	14
40°	14,0	17,1	683	15,8	106	64,1	10,5	14,2	5,1	3,1	81,4	37,8	13,7
60°	17,3	23,1	430	18,1	139	80,2	12,7	20,3	6,5	3,2	103,7	45,9	13,7
80°	19,0	27,8	320	19,4	154	86,0	14,2	24,8	7,5	2,8	113,6	52,0	11,9
IV класса бомбета													
20	6,4	6,8	2706	9,7	36	19,3	4,5	4,9	2,2	1,9	26,1	15,7	8,1
40	IT 4	T2,9	T025	T3,4	73	40,1	7,3	8,6	2,2	2,2	50,0	22,7	8,5

I класс бомбета

Продолжение таблицы 7														
	1	2	3	4	5	6	7	8	9	10	11	12	13	14
20	13,9	13,2	13,5	13,7	12,4	57,6	9,0	6,8	7,0	3,4	67,8	38,6	13,5	
30	18,0	19,9	719	22,5	102	86,2	11,4	9,7	8,8	3,3	96,2	48,9	13,1	
40	20,8	21,5	972	35,3	335	143	19,8	23,6	8,9	3,5	170,1	49	14	
50	22,7	27,1	646	37,3	384	155	20,8	29,1	10,1	3,2	187,3	55	12	
10	6,3	5,1	5054	10,2	I	Image committee	18,2	4,1	2,6	3,4	2,2	23,0	16,6	9,0
20	12,4	12,2	146	16,9	102	45,9	7,6	6,2	6,6	3,0	55,1	34,8	12,1	
30	16,4	19,2	716	20,7	154	68,7	9,6	9,2	9,6	3,0	80,9	46,3	11,7	
40	19,3	26,0	437	23,9	194	84,7	10,5	11,4	9,8	2,6	98,7	53,0	10,3	
50	21,4	32,6	301	25,2	228	95,6	10,8	12,8	10,4	2,2	110,6	56,7	8,8	
10	5,0	4,0	7369	9,2	II	Image committee	14,5	3,5	2,2	2,9	2,0	18,7	13,4	7,9
20	10,1	9,2	2203	14,8	82,3	35,6	6,5	4,6	5,2	2,7	42,9	27,8	10,9	
30	13,8	15,5	963	18,1	124	53,1	8,2	7,2	7,0	2,7	63,0	39,4	10,7	
40	16,6	22,8	503	20,6	154	65,3	8,7	9,6	8,6	2,3	77,2	43,2	9,3	
50	18,8	31,6	286	22,4	174	73,6	8,4	10,4	10,0	1,9	87,9	55,5	7,6	
20	7,9	7,2	3046	12,3	III	Image committee	14,5	5,4	3,8	4,2	2,5	34,7	22,8	9,3
30	11,3	14,5	921	15,2	41,1	6,2	7,0	6,6	2,3	50,4	36,7	9,2		
40	13,5	21,8	465	17,4	112	60,0	6,4	9,5	8,1	2,0	61,5	46,2	7,7	
50	16,5	28,4	302	19,2	19,2	6,4	11,1	8,8	1,6	68,5	52,2	6,5		
10	7,2	7,1	2082	8,2							33,5	20,1	9,9	
20	11,5	11,5	2839	11,5							33,1	23,6	3,9	
30	14,3	24,4	46,3	24,4							2,4	3,8	2,4	
40	17,5	17,5	1033	24,8										
50	22,8	27,4	27,4	206	80,7	11,7	23,6	8,2	2,5	105,6	49	9		
10	7,2	7,2	2839	11,5	II	Image committee	10,1	0,7						
20	11,5	11,5	2839	11,5	II	Image committee	10,1	0,7						

Продолжение таблицы 7

	1	2	3	4	5	6	7	8	9	10	11	12	13	14
I														
30	18,0	16,0	1597	32,1	263	117	17,4	18,7	7,8	3,8	139,5	44	15	
40	20,8	21,5	972	35,3	335	143	19,8	23,6	8,9	3,5	170,1	49	14	
50	22,7	27,1	646	37,3	384	155	20,8	29,1	10,1	3,2	187,3	55	12	
II														
10	6,3	4,1	11231	14,6	51	20,7	4,8	5,2	3,0	2,0	27,9	15	6	
20	12,4	9,6	3213	24,1	145	61,0	11,0	12,5	6,0	3,3	76,8	33	15	
30	16,4	15,4	1591	29,6	228	96,0	15,1	18,3	7,7	3,5	117,8	43	14	
40	19,3	20,9	971	33,3	297	123	17,7	23,0	8,7	3,3	149,3	46	13	
50	21,4	26,2	636	36,0	353	140	19,4	28,3	9,8	3,0	103,3	57	12	
III														
10	5,0	3,1	16375	13,1	38	15,4	3,8	4,1	2,4	1,7	22,2	7		
20	10,1	7,4	4507	21,1	107	47,5	8,6	9,2	4,5	2,7	59,4	24	11	
30	13,8	12,4	2140	25,9	171	73,1	12,0	14,3	6,1	3,0	90,4	34	12	
40	16,6	18,3	1118	29,4	228	92,8	14,1	19,9	7,6	2,9	115,6	43	11	
50	18,8	25,3	636	33,0	278	103	15,4	27,1	9,4	2,7	137,8	53	10	

Ограждение таблички 7													
1	2	3	4	5	6	7	8	9	10	II	II	III	IV
20	13,9	I3,0	I00I	I3,4	94,3	52,2	6,9	7,3	6,2	3,1	62,6	36,4	I2,2
30	18,0	19,6	.527.	16,1	136	72,8	8,1	9,9	7,6	2,8	85,5	45,5	II,2
40	20,8	26,4	32I	I7,6	165	55,8	8,3	II,9	8,4	2,4	I00,I	50,2	9,4
50	22,7	33,3	213	18,6	181	92,4	7,9	I3,3	8,8	I,9	I07,7	52,0	7,6
I класс бетонета													
10	6,3	5,0	3706	7,3	33,2	18,3	3,6	3,0	3,1	2,2	23,5	I6,I	9,1
20	12,4	12,0	I060	I2,1	77,0	41,4	5,8	6,6	5,8	2,8	50,8	32,8	II,0
30	16,4	18,9	525	I4,8	III	58,1	6,8	9,4	7,4	2,5	70,0	42,9	10,0
40	19,3	25,7	320	16,6	I36	68,8	7,0	II,3	6,3	2,1	82,2	48,6	8,4
50	21,4	32,3	220	18,0	I55	75,1	6,9	I2,5	8,8	I,8	89,4	51,6	7,0
II класс бетонета													
10	5,0	3,9	5404	6,6	27,8	14,2	3,1	2,4	2,7	2,0	I8,6	I3,3	8,2
20	10,1	9,1	I619	10,6	64,5	31,4	5,2	4,8	4,8	2,6	38,8	27,1	I0,3
30	13,8	I5,2	706	I3,0	90,9	43,9	5,8	7,1	6,2	2,3	53,3	37,0	9,3
40	16,6	22,5	369	I4,7	I09	52,6	5,6	9,5	7,3	I,9	64,0	44,4	7,6
50	18,8	31,1	210	I6,0	I17	57,8	5,3	I2,0	8,3	I,5	71,3	49,7	5,8
III класс бетонета													
20	7,9	7,1	2234	8,8	51,0	24,5	4,3	3,9	3,9	2,4	30,8	22,6	9,5
30	II,3	14,3	675	10,8	66,9	34,4	4,4	7,0	5,8	2,0	43,4	34,3	7,9
40	13,9	21,5	341	I2,4	77,9	40,6	4,2	9,4	6,8	I,6	51,6	42,0	6,2
50	16,0	28,1	221	I3,7	87,2	44,1	4,1	10,8	7,4	I,3	56,2	46,9	5,0

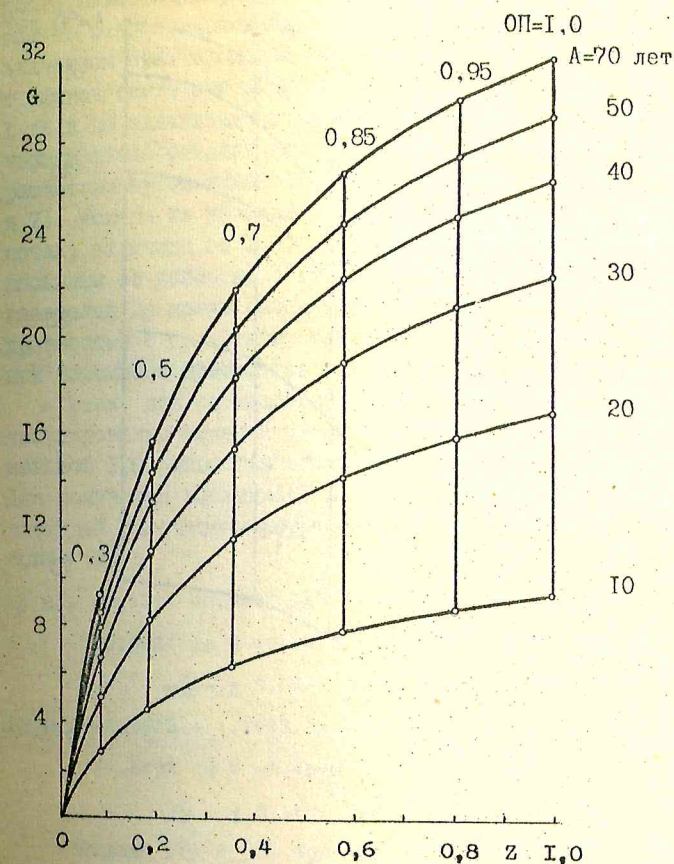


Рис. 1. Зависимость суммы площадей сечения (G) березовых древостоев I класса бонитета от возраста и относительной густоты; ОП - относительная полнота

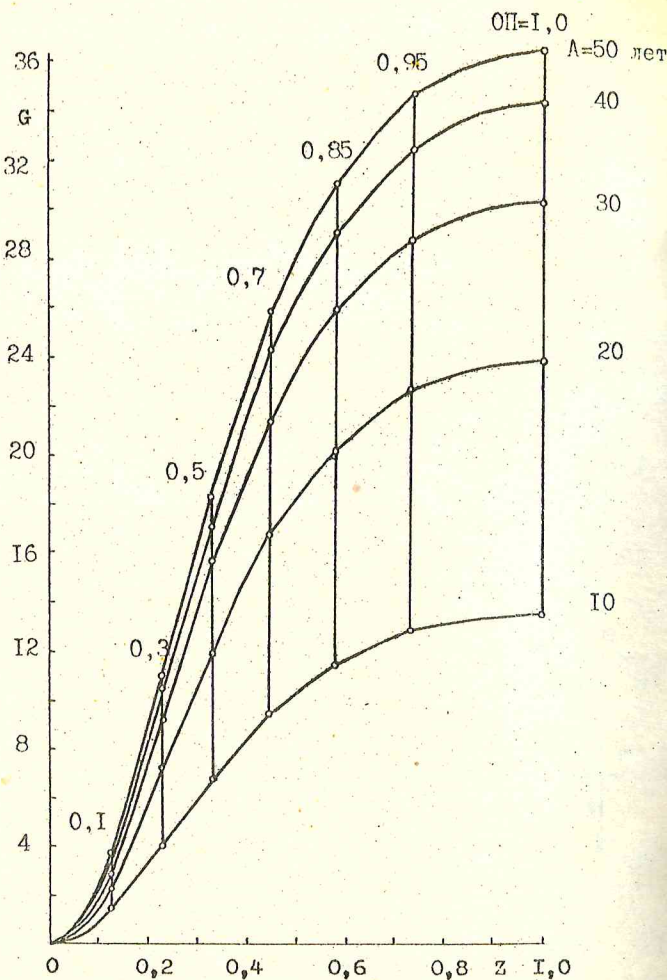


Рис. 2. Зависимость суммы площадей сечения (G) осиновых древостоев Ia класса бонитета от возраста и относительной густоты

(рис.1), а в осинниках – $z = 0,45$ (рис.2). Это дало возможность вывести унифицированные зависимости относительных полнот от относительных густот (Усольцев, 1985б). По известным значениям сумм площадей сечений при полнотах 0,7 и 0,5 с графиков сняты значения z , переведены на число стволов на 1 га и по значениям суммы площадей сечений и полученным значениям числа стволов для каждого класса возраста и бонитета расчетным путем выведены значения среднего диаметра (табл.6 и 7). Исходя из условия постоянства класса бонитета при полнотах, отличных от 1,0, значения средних высот приняты независимыми от полноты. Полученные соотношения таксационных показателей не могут распределяться в качестве основы ТХР для древостоев с полнотами, меньшими 1,0, а служат лишь для оценки фитомассы древостоев в статике.

Итак, для составления таблиц биопродуктивности путем табулирования моделей (2) и (3) для древостоев с полнотой, меньшей 1,0, известны все исходные данные, кроме запаса M . Для получения последнего по экспериментальным данным пробных площадей рассчитаны регрессионные уравнения для березы (7) и осины (8) :

$$\begin{aligned} \lg M = & -0,9891 + 0,9407 \lg^2 A - 0,4490 \lg^3 A + 0,4418 \lg^2 n_{50} + \\ & + 0,5021 \lg N + 0,9875 \lg A \lg D_{cp} + 0,3093 \lg N \lg D_{cp}; \quad (7) \end{aligned}$$

$$\begin{aligned} \lg M = & -2,1628 + 1,7888 \lg A - 0,3461 \lg^2 A + 0,3877 \lg^2 n_{50} + \\ & + 1,6238 \lg N - 0,4506 \lg^2 N - 0,6628 \lg N \lg D_{cp}; \quad (8) \end{aligned}$$

$$\sigma = \pm 0,074; R^2 = 0,940;$$

$$\sigma = \pm 0,069; R^2 = 0,988;$$

Модели (7) и (8) протабулированы по исходным данным A , n_{cp} , n_{50} для древостоев с полнотами 0,7 и 0,5, затем по полученным значительным запаса и тем же данным A , N , D_{cp} и n_{50} протабулированы модели (2) и (3) и в итоге получены эскизы таблиц биопродуктивности древостоев с полнотами, меньшими 1 (табл.6 и 7).

Таблицы биопродуктивности березы и осины (табл.6 и 7) при полноте 1,0 в самых общих чертах подтверждают известные закономерности нахождения с возрастом общей надземной фитомассы березы и осины в лесах европейской части СССР (Молчанов,

1974; Науменко, 1978), однако у осини они отличаются более ранним наступлением кульмиционного периода. В сосняках (табл.5) Ia-I классов бонитета с возрастом нарастают все фракции фитомассы, а во II-IIU классах масса хвои после кульминации в 10-30 лет снижается и к возрасту спелости вновь нарастает. Показатели общей массы корней и тонкой их фракции применимы лишь к соснякам на почвах, подстилаемых песками, супесями и суглинками.

3. Биопродуктивностный подход к исследованию оптимальных и предельных ценотических состояний древостоев

Исследование оптимальных и предельных ценотических состояний древостоев представляет дальнейшее развитие теории биопродуктивности и является теоретической основой оптимизации лесовыращивания. Обобщив экспериментальные и теоретические исследования продуктивности древостоев, В.В.Кузьмичев (1985) приходит к выводу о наличии трех типов колоколообразных кривых продуктивности: в связи с густотой (при стабильных возрасте и условиях произрастания), с возрастом (в одних и тех же условиях произрастания) и с изменением условий произрастания (при стабильном возрасте). Однако убедительных доказательств, подтвержденных однозначными экспериментальными решениями на основе применения корректных количественных методов, пока не представлено. Если конкретизация закономерности второго типа затруднена вследствие действия временного фактора и в силу эволюции (экогенеза) биогеоценозов, а реализация закономерности третьего типа вообще сомнительна, то количественное описание закономерности первого типа, казалось бы, существенных ограничений не имеет. Тем не менее нет единодушия исследователей даже относительно самого факта существования колоколообразной кривой. Так, А.И.Бузикин и Л.С.Шенничникова (1980) полагают, что "...оптимальной густотой, обеспечивающей максимальный запас стволовой древесины, служит та наибольшая густота, которой характеризуются древостои" (с.59), отмечая в то же время, что при чрезмерном перегущении запас древостоев снижается, и не уточняют количественных соотношений "наибольшей густоты" и "чрезмерного перегущения". А.И.Питтикин (1966) приходит к выводу о наличии колоколообразной

кривой зависимости текущего прироста по запасу от полноты, а Р.Куртис (Curtis, 1967) демонстрирует практически линейный ее характер. И.Польманнштедт (Pollmannshütz, 1968) устанавливает колоколообразную зависимость текущего прироста, но не от полноты, а от частного от деления верхней высоты на сумму площадей сечений. Неоднозначность выводов усиливается тем, что исследуются различные виды, и если в экспериментах с однолетними сельскохозяйственными культурами имеют дело практически с одной ассимилирующей массой (Синиггин, 1975), то в случае с древостоем анализируют либо показатели запаса стволов (или суммы площадей сечений), характеризующиеся длительным кумулятивным процессом роста, либо показатели текущего прироста как дифференциала запаса.

Вывод А.А.Онутина и А.Н.Борисова (1984) о наличии в сосняках одного возраста и класса бонитета некоторого интервала запасов, которому соответствует максимальная масса хвои, находит на мель, что для адекватного количественного выражения оптимальных и предельных ценотических состояний древостоев необходимо учитывать структуру фитомассы по составляющим фракциям. Вследствие саморегуляции числа деревьев древостой не достигает предельной густоты, а лишь приближается к ней в той или иной степени. Поэтому количественное выражение предельного состояния всегда сопряжено с экстраполяцией экспериментальных данных, для чего масса листьев как наиболее динамичная фракция в сравнении со структурными, характеризующими кумулятивный процесс роста, более информативна.

Реализация системного подхода требует вскрытия механизма воздействия факторов на результирующий признак, расчленения интегральных показателей на исходные составляющие. Известно, что сумма площадей сечений древостоя является интегральным показателем – функцией площади сечений среднего дерева и числа стволов на 1 га. Последние, в свою очередь – монотонные функции возраста, первая из которых возрастает, а вторая – убывающая. Г.Б.Кофман и В.В.Кузьмичев (1979), В.В.Кузьмичев (1980) расчленили закономерность изменения суммы площадей сечений с возрастом на названные составляющие и установили, что эти суммы для древостоев разной густоты меняются с возрастом по колоколообразным кривым, максимумы которых разнесены по возрасту и величине и расположе-

ы на одной огибающей. В основе закономерности изменения продуктивности древостоя в статике в связи с густотой также находится две составляющие: увеличение продуктивности с густотой древостоя при фиксированном среднем диаметре и снижение среднего диаметра при увеличении густоты.

Для количественного выражения предельных и оптимальных ценоитических состояний древостоев и с целью анализа изменения соотношений различных фракций в связи с определяющими факторами использована структура моделей (I)-(3). В дальнейшем изложении ссылки на эти уравнения подразумевают в них показатели r_1 , без запаса М. Последний ранее был введен с целью наиболее тесной привязки моделей к ТХР, а при анализе соотношения фракций фитомассы необходимости в этом показателе нет. Апроксимируемые показатели фитомассы (табл.8 и 9) в отличие от относительных (r_1/m) можно назвать абсолютными. В экологическом аспекте представляет особый интерес исследование соотношений надземных и подземных фракций древостоев, однако метод среднего дерева, по которому рассчитана масса корней на 1 га (табл.5), для этой цели, по-видимому, недостаточно точен. Поэтому соответствующие уравнения (I)-(3) для массы корней в данном случае не рассчитывались.

Количественное выражение оптимальных и предельных ценоитических состояний древостоев предполагает исследование закономерностей изменения продуктивностных показателей по моделям (I)-(3) (табл.8 и 9) при стабильных условиях произрастания (фиксированном классе бонитета), но при различных уровнях прочих определяющих факторов – возраста, густоты и среднего диаметра древостоя. Морфометрическая специфика онтоценогенеза конкретного древостоя определяется зависимостью его среднего диаметра от возраста и густоты. Если известна называемая зависимость, то при подстановке ее в уравнения (I)-(3) получаем прогностическую функцию динамики фитомассы этого древостоя. Содержательный анализ морфометрических показателей древостоев пробных площадей (табл.1 и 2) в связи с возрастом, густотой и классом бонитета показал, что зависимость среднего диаметра от этих факторов может быть выражена уравнением Кобба-Дугласа

$$D_{cp} = a_0 A^{a_1} N^{a_2} n^{a_3}_{50(100)} \quad (9)$$

Таблица 8

Характеристика уравнений вида (I), выражающих зависимость абсолютных показателей (r_1 , т/га) надземной фитомассы сосновников в абсолютном сухом состоянии от определяющих факторов

Обозначения констант при факторах и показатели адекватности уравнений	Ствол		Ветви		Хвоя	
	всего	в т.ч. кора	всего	в т.ч. кора		
a_0	-3,0476	-7,8583	0,0965	-1,8809	-1,6516	
$a_1 (1g A)$	-	16,5522	-3,8116	-	-	
$a_2 (1g^2 A)$	-	-11,3924	1,6269	-1,9224	-2,7408	
$a_3 (1g^3 A)$	0,2822	2,2998	-	1,4369	1,6586	
$a_4 (1g n_{100})$	1,3460	-	-	-	-	
$a_5 (1g N)$	0,7408	3,6786	1,9043	2,5932	2,0350	
$a_6 (1g^2 N)$	0,1011	0,6142	-0,3730	-0,5375	-0,9320	
$a_7 (1g D_{cp})$	1,6512	-	3,8263	-	-	
$a_9 (1g A 1g N)$	-	-10,2067	-	-	3,1489	
$a_{10} (1g A 1g D_{cp})$	0,8639	-	-	5,7700	6,5908	
$a_{11} (1g N 1g D_{cp})$	-	1,0400	-1,1272	-1,0783	-1,9697	
$a_{12} (1g^2 A 1g n_{100})$	-	0,5394	-	-	-	
$a_{13} (1g^2 A 1g N)$	-	6,6426	-	-	-1,4430	
$a_{14} (1g^2 A 1g D_{cp})$	-0,6275	-	-0,5525	-3,1255	-3,2925	
$a_{15} (1g^3 A 1g N)$	-	-1,3376	-	-0,1964	-	
$\pm \sigma$	0,053	0,069	0,119	0,111	0,128	
R^2	0,988	0,967	0,850	0,703	0,484	

Электронный архив УГЛТУ

Окончание таблицы 9

Таблица 9

Характеристика уравнений вида (2) и (3), выражаящих зависимость абсолютных показателей (P_i , т/га) надземной фитомассы березняков и осинников в абсолютно сухом состоянии от определяющих факторов

Обозначения констант при факторах и показатели адекватности уравнений	Ствол		Ветви		Листья
	древе- сины	кора	древе- сины	кора	
	I	2	3	4	5

Береза, уравнение (2)

a_0	-2,7383	-3,7137	-0,2715	-0,6466	-2,8600
$a_1 (1g A)$	-	I,4389	-7,2039	-5,6379	-
$a_2 (1g^2 A)$	0,II6I	-0,4047	5,2339	4,2693	-
$a_3 (1g^3 A)$	-	-	-I,2196	-I,0279	-
$a_4 (1g H_{50})$	I,4774	I,8439	0,8628	0,998I	-
$a_5 (1g^2 H_{50})$	-	-	-	-	0,2255
$a_6 (1g N)$	-	-	2,8683	2,4739	3,2447
$a_7 (1g^2 N)$	-	-	-0,735I	-0,6332	-0,9278
$a_8 (1g D_{cp})$	2,0070	-	2,7955	2,0835	3,II49
$a_9 (1gA 1gN)$	0,96I3	0,5442	-	-	-
$a_{10}(1gA 1gD_{cp})$	-	0,670I	-	-	-0,3385
$a_{II}(1gN 1gD_{cp})$	-0,56I2	-	-I,6252	-I,3997	-I,7620
$\pm \sigma$	0,069	0,078	0,08I	0,079	0,074
R^2	0,958	0,9I6	0,938	0,87I	0,799

Осина, уравнение (3)

a_0	6,3487	2,4588	-I2,6447	-I4,I237	-7,7I0I
$a_1 (1g A)$	3,I2I8	I,4433	9,3627	I0,6239	-
$a_2 (1g^2 A)$	-0,9048	-0,26I7	-0,6I55	-I,0492	I,6035
$a_3 (1g H_{50})$	-I4,4286	-8,I945	-	-	-
$a_4 (1g^2 H_{50})$	6,I060	3,5550	-	-	-I,8006
$a_5 (1g N)$	0,6645	I,8798	I0,0579	II,4764	9,575I
$a_6 (1g^2 N)$	-0,0906	-0,5884	-I,7909	-2,0I34	-2,032I
$a_7 (1g D_{cp})$	-	I,3036	8,6298	9,8326	8,8I0I
$a_8 (1gA 1gN)$	-	-	-4,6478	-5,3426	-3,7794
$a_9 (1gA 1gD_{cp})$	0,6282	-	-4,9773	-5,80I3	-5,3506
$a_{10}(1gN 1gD_{cp})$	-	-0,8288	-2,I593	-2,4052	-2,6367
$a_{II}(1gA 1gH_{50})$	-	-	-	-	5,4076
$a_{12}(1g^2 A 1gH_{50})$	-	-	-	-	-I,3353

$\pm \sigma$	0,074	0,063	0,080	0,084	0,07I
R^2	0,989	0,980	0,978	0,959	0,969

Уравнения (9) (табл.10) и, соответственно, в зависимости от древесной породы – (1), (2) или (3) образуют рекуррентную систему, когда зависимая переменная D_{cp} предшествующего уравнения (9) выступает в качестве одной из независимых переменных в последующих –(1)–(3). Подобные системы уравнений Е.М.Четыркин (1977) применяет в эконометрии и называет их не рекуррентными, а рекурсивными. На рис.3 для пояснения

Таблица 10

Характеристика уравнений (9)

Древесная порода	Константы				$\pm \sigma$	R^2
	a_0	a_1	a_2	a_3		
Сосна	0,0259	0,6562	-0,2668	1,2540	0,046	0,968
Береза	0,2366	0,6184	-0,2593	0,6371	0,041	0,974
Осина	0,7240	0,4534	-0,5033	0,5541	0,043	0,984

принципа "работы" рекуррентной системы уравнений (9) и (2) дала их геометрическая интерпретация для березовых древостоев III класса бонитета в возрасте 50 лет. Уравнение (9) при $A=50$ лет и $H_{50}=16$ м приводится к парной зависимости $D_{cp}=f(N)$, описываемой аллометрической функцией (кривая I). Проекция ее на поверхность, представленную набором линий разных густот (3) и диаметров (4) и описываемую уравнением (2) для массы листвы, дает линию (2). Проекция последней на вертикальные плоскости $P-D_{cp}$ и $P-N$ дает колоколообразные зависимости (5) и (6), соответственно, $P=f(D_{cp})$ и $P=f(N)$. Аналитически эта процедура выполнена в два этапа. На первом протабулированы уравнения (9) по заданным значениям возраста, густоты и класса бонитета. На втором – по полученным значениям среднего диаметра и тем же значениям возраста, густоты и класса бонитета протабулированы уравнения (1)–(3) для абсолютных показателей фитомассы, представление в табл.8 и 9. Графическая интерпретация результатов табулирования зависимости массы хвои (листвы) с увеличением густоты древостоя в статике (рис.4а, 5а, 6а) позволила установить наличие линии предельной густоты, огибающей возрастной набор колоколообразных кривых. Наличие такой линии означает, что фотосинтетический аппарат может функционировать лишь до определенной густоты, за пределами которой древостой не может существовать

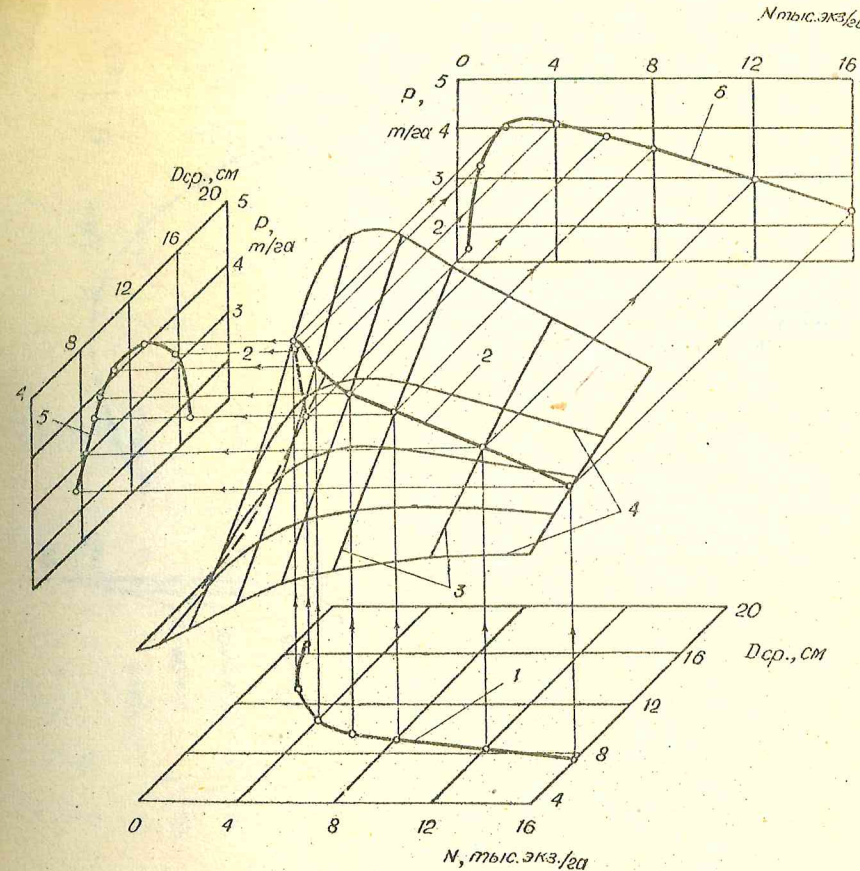


Рис. 3 . Геометрическая интерпретация рекуррентной системы уравнений (9) и (2) для массы листвы (P , т/га) березовых древостоев III класса бонитета в возрасте 50 лет;

I – кривая зависимости $D_{cp} = f(N)$;
 2 – проекция линии I на поверхность, описываемую уравнением $P = f(N, D_{cp})$;
 3 – линии равной густоты; 4 – линии равного диаметра; 5 – кривая зависимости $P = f(D_{cp})$; 6 – кривая зависимости $P = f(N)$

Рис. 4. Изменение массы ($P, \text{т}/\text{га}$) хвой (а), листвы (б) и ствола (в) в связи с возрастом (A) и густотой (N , тыс. экз./га) сосновых древостоя III класса бонитета. 1 и 2 — линии предельной и оптимальной густот

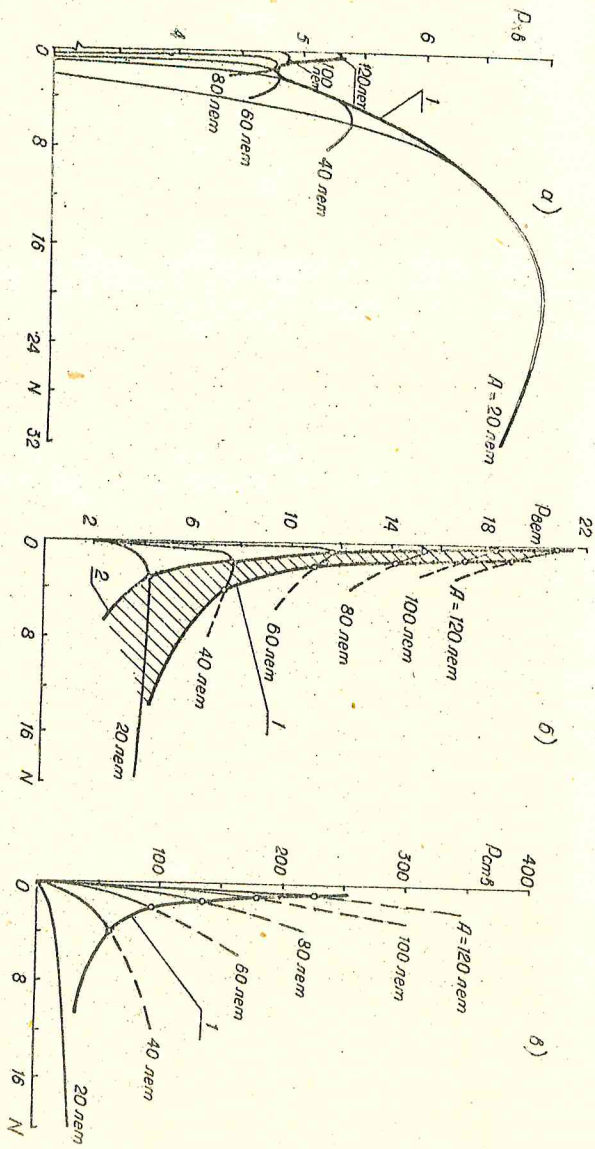
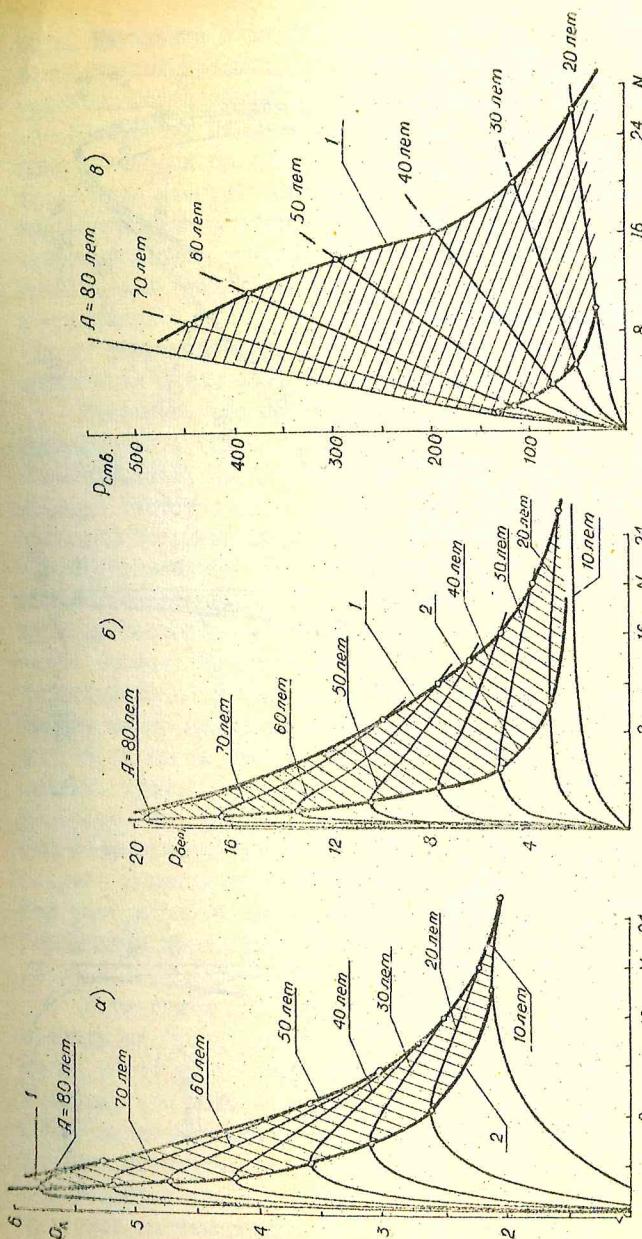


Рис. 5. Изменение массы ($P, \text{т}/\text{га}$) листвы (а), древесины зелевой (б) и прядильной зелевой (в) древесины в связи с возрастом (A) и густотой (N , тыс. экз./га) сосновых древостоя III класса бонитета. 1 и 2 — линии предельной и оптимальной густот



вать. Изменение с возрастом остальных фракций представляет кумулятивный процесс продуцирования фитомассы с частичным отпадом. Перенесение линии предельной густоты на графики для массы ветвей и стволов (рис.4-6) позволяет установить предельные значения продуктивности и по этим фракциям. Для всех трех пород имеются четко выраженные оптимумы кривых изменения массы хвои и ветвей с густотой в статике древостоя. Линии оптимальных густот, соединяющие вершины колоколообразных кривых, для хвои (листвы) сдвинуты в сторону больших густот в сравнении с такими же линиями для ветвей. По-видимому, на эффект разреживания ветви реагируют путем более интенсивного накопления фитомассы, чем хвой (листва).

Известно, что показатели массы хвои находятся в тесной взаимосвязи с текущим приростом запаса (Яблоков, 1934; Георгиевский, 1948; Полякова-Минченко, 1961). Поэтому линиям оптимальных густот по хвои должны соответствовать и максимальные значения текущего прироста. Поскольку по массе хвои (рис.4а) линии оптимальных и предельных густот совпадают, то максимальным показателем запаса, текущего прироста и массы хвои в статике соответствует одна и та же густота. В осинниках это имеет место в возрасте 20-30 лет и старше (рис.6а), а в березняках на всем возрастном интервале существует диапазон густот между максимумами массы листви (и текущего прироста запаса) и массы стволов, причем первые сдвинуты в сторону меньших густот (на рис.5в и 6в они запятрихованы). Сказанное означает, что только в березняках и осиновых молодняках путем разреживания загущенных древостояев можно увеличить их текущий прирост и общую производительность, а в сосновых любое разреживание означает снижение общей производительности. Необходима проверка этого вывода по показателю текущего прироста.

Если для массы ветвей и стволов линии оптимальных и предельных густот имеют одинаковую конфигурацию по породам, то по массе хвои (листвы) она видоизменена: седлообразная у сосны, что подтверждает отмеченную ранее (Усольцев и др., 1985) периодичность в накоплении массы хвои в сосновых II-III классов бонитета; монотонно нарастающая с возрастом у березы и колоколообразная у осины, свидетельствующая о раннем наступлении количественной спелости. У березы имеется интервал

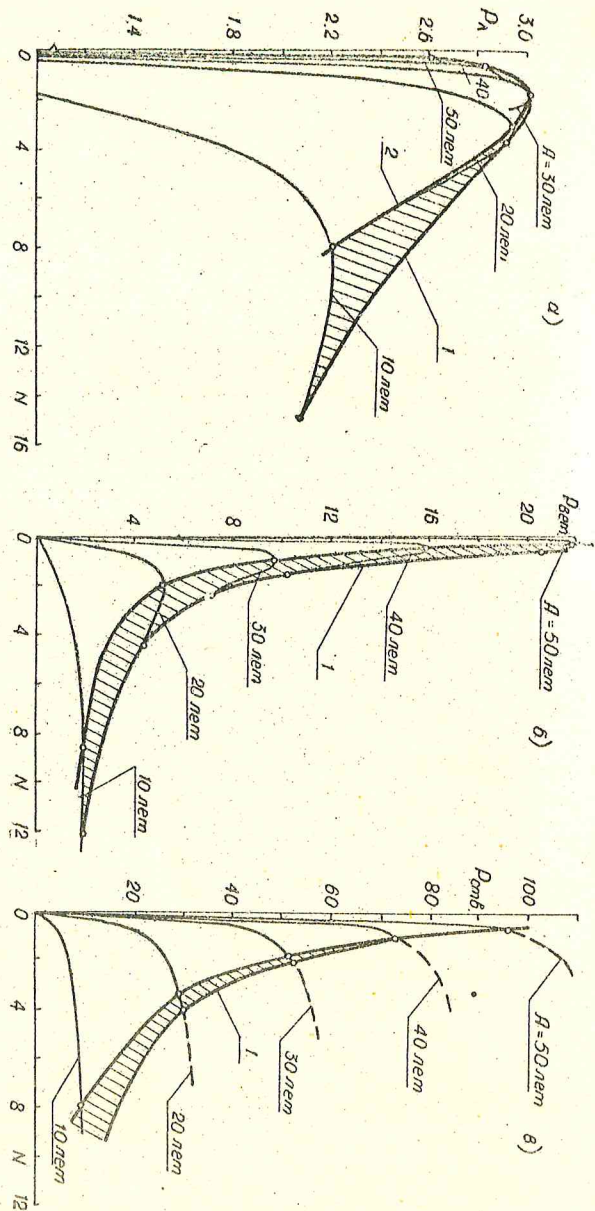


Рис. 6. Изменение массы (Р, т/га) листвы (а), древесины ветвей (б) и древесины стволов (в) в связи с возрастом (А) и густотой (Н, тыс.в/га) основных древостояев II класса бонитета. 1 и 2 - линии предельной и оптимальной густот

густот между линиями оптимальной и предельной густоты по массе листвы по всему возрастному диапазону, у осины - лишь до 20 лет (на рис.5а и 6а они заштрихованы), затем линии сливаются, а у сосны эти линии совпадают практически на всем возрастном интервале.

Итак, относительно характера изменения запаса древостоев с густотой в статике вполне определенно можно утверждать, что кривые имеют не колоколообразный, а монотонно нарастающий с густотой тренд. Лишь в возрасте до 10-20 лет наблюдается некоторая стагнация запасов при больших густотах. На всем возрастном интервале эти кривые ограничены справа (рис. 4-6) линией предельных густот, положение которой определяется только показателем массы ассимиляционного аппарата. Вывод в отношении кривой запаса в статике древостоя имеет чисто теоретический характер и справедлив лишь для древостоев, которым по ряду нарастающей густоты соответствует один и тот же класс бонитета. В реальных условиях этот принцип иногда не соблюдается, и тогда кривая запасов в статике древостоев приобретает колоколообразный вид. Представляет интерес установление причин снижения класса бонитета при больших густотах древостоев: или здесь оказывается влияние эдакического фактора (неоднородность условий произрастания), или - ценотического (снижение эффективности фотосинтеза вследствие перегущения), или - того и другого одновременно. По-видимому, это составит предмет специального исследования.

Заключение

При составлении таблиц биопродуктивности ввиду трудоемкости получения экспериментальных данных по фитомассе древостоев необходимо максимальным образом использовать обширный арсенал лесотаксационных нормативов. Корректное совмещение таблиц биопродуктивности с ТХР может быть выполнено на основе полифакториальной оценки фитомассы с использованием аппарата регрессионного моделирования. Основные факторы, включаемые в регрессионную модель динамики фитомассы - возраст, класс бонитета, средний диаметр, число стволов на 1 га и запас стволовой древесины. Совокупность среднего диаметра и густоты адекватна абсолютной полноте, а запас дополнителью-

к последней учитывает варьирование видового числа. Поскольку масса хрон древостоя при полнотах, отличных от 1,0, не может быть получена простым редуцированием, предложена процедура аналитического выражения взаимосвязи таксационных показателей таблиц для полнот, меньших 1,0. Полученные соотношения среднего диаметра, густоты и запаса с возрастом не могут рассматриваться в качестве основы ТХР для древостоев с полнотами, меньшими 1,0, а служат лишь для оценки фитомассы древостоев в статике.

Для исследования оптимальных и предельных ценотических состояний древостоев предложена процедура разложения закономерности динамики фитомассы древостоев по основным определяющим факторам на две составляющие. Первая определяет морфометрическую специфику онтогенеза древостоя и выражается зависимостью его среднего диаметра от возраста, класса бонитета и густоты. Вторая определяется полифакториальной зависимостью фитомассы древостоя от возраста, класса бонитета, густоты и среднего диаметра. Названные два вида уравнений образуют рекуррентную систему, зависимая переменная первого из которых входит в качестве однай из независимых переменных во втором. Исследовательским табулированием названных уравнений получены зависимости массы фракций на 1 га от густоты по классам возраста и бонитета. Масса хвои (листвы) и ветвей с увеличением густоты древостоев сосны, березы и осины в статике изменяется по колоколообразной, а масса стволов - по монотонно нарастающей кривым. Правые ветви кривых для массы хвои (листвы), полученных для разных возрастов, пересекаются, образуя линию предельной густоты. Путем перенесения последней на графики для остальных фракций, представляющих результат кумулятивного процесса производства фитомассы, получены предельные значения продуктивности и для этих фракций. Выход о наличии монотонно нарастающей кривой зависимости массы стволов (запаса) на 1 га с густотой в статике справедлив лишь для древостоев, которым по ряду нарастающей густоты соответствует один и тот же класс бонитета или одна и та же средняя высота. В реальных условиях этот принцип никогда не соблюдается, и тогда кривая запасов в статике присобирает колоколообразный вид.

Линии оптимальных густот, соединяющие вершины колоколо-

образных кривых, для хвои сдвинуты в сторону больших густот в сравнении с такими же линиями для ветвей. По-видимому, на эффект разреживания ветви реагируют путем более интенсивного накопления фитомассы, чем хвоя, и происходит перераспределение ассимилятов от ствола к ветвям. Поскольку по массе хвои линии оптимальных и предельных густот совпадают, а текущий прирост запаса находится в тесной взаимосвязи с массой хвои, то максимальным показателем запаса, текущего прироста и массы хвои сосняков в статике соответствует одна и та же густота. В осинниках это имеет место в возрасте 20-30 лет и старше, а в березняках на всем возрастном интервале существует диапазон густот между максимумами массы листвы (и текущего прироста запаса) и массы стволов, причем первые сдвинуты в сторону меньших густот. По-видимому, только в березняках и осиновых молодняках путем разреживания загущенных древостоев можно увеличить их текущий прирост и общую производительность, а в сосняках любое разреживание означает снижение последней. Если для массы ветвей и стволов линии оптимальных и предельных густот имеют одинаковую конфигурацию по породам, то по массе хвои (листвы) она видоспецифична: седлообразная у сосны, монотонно нарастающая у березы и колоколообразная у осины. Эти особенности должны учитываться при оптимизации производственного процесса в лесных биотекнологиях.

Литература

Антанайтис В.В. Изучение роста древостоев на экологической основе. - В кн.: Закономерности роста и производительности древостоев / тез. докл., Каунас: изд. ЛитСХА, 1985, с. II - 14.

Блауберг И.В., Юлик Э.Г. Становление и сущность системного подхода. М.: Наука, 1973. - 270 с.

Бузникин А.И., Шиеничникова Л.С. Формирование сосново-лиственных молодняков. Новосибирск: Наука, 1980. - 176 с.

Галицкий В.В., Комаров А.С. Дискретные модели популяции деревьев. - В кн.: Моделирование почвен. процессов и автоматизация их исслед. М.: Наука, 1976, с.91-106.

Гельтман В.С., Ловчий Н.Ф. Экологические составляющие

закономерностей роста и производительности древостоев. - В кн.: Закономерности роста и производительности древостоев / тез. докл., Каунас: изд. ЛитСХА, 1985, с.19-21.

Георгиевский Н.П. О развитии насаждений при рубках ухода. - В кн.: Развитие русского лесоводства. ВНИТОлес, вып. I, М.-Л. Гос. лесотехнич. изд-во, 1948, с.112-179.

Егоров В.А., Камышлов Ю.Н., Митрофанов В.Б., Понятковский А.А. Математические модели глобального развития. Л.: Гидрометеиздат, 1980. - 192 с.

Загреев В.В. Географические закономерности роста и производительности древостоев. М.: Лесн. пром-сть, 1978. - 240 с.

Ивахненко А.Г. Индуктивный метод саморганизации моделей сложных систем. Киев: Наукова думка, 1982. - 296 с.

Кофман Г.Б., Кузьмичев В.В. Видоспецифичность естественного изреживания древостоев. - В кн.: Формирование эталонных насаждений / тез. докл. Всесоюзн. конфер. Каунас-Гиронис : изд. ЛитНИИЛХ, 1979, ч. I, с.99-101.

Кравченко Г.Л. Архитектоника древостоев сосны обыкновенной / метод. указания к выполнению лабораторн. работ по курсу лесн. таксации. Брянск: Брянский ТИ, 1977. - 17 с.

Кузьмичев В.В. Эколого-ценотические закономерности роста одновозрастных сосновых древостоев: Автореф. дис... докт. биолог. наук. Красноярск: Изд. СО АН СССР, 1980. - 31 с.

Кузьмичев В.В. Влияние густоты, возраста и производительности на изменение суммы площадей сечений и запаса древостоев. - В кн.: Закономерности роста и производительности древостоев / тез. докл., Каунас: изд. ЛитСХА, 1985, с.44-46.

Лиепа И.Я. Динамика древесных запасов: прогнозирование и экология. Рига: Зиннатне, 1980. - 170 с.

Лиепа И.Я. К математическому моделированию в экологии. - В кн.: Моделирование и прогнозирование в биоэкологии. Рига: изд. Латв. ун-та, 1982, с.3-41.

Молчанов А.А. Продуктивность органической массы в березовых древостоях Московской области. - В кн.: Продуктивность орган. и биолог. массы леса, М.: Наука, 1974, с.141-161.

Науменко З.М. Продуктивность и биологический состав фитомассы березы в чистых березняках Нечерноземной зоны РСФСР. - Раст. ресурсы, 1978, т.14, № 1, с.126-131.

Никитин К.Е., Швиденко А.З. К вопросу о математическом

Электронный архив УГЛТУ

46.

моделировании в лесном хозяйстве. - В кн.: Тез. докл. Всесоюзн. научно-производств. конфер. по вопросам совершенствования лесн. хоз-ва. Киев: изд. УкрСХА, 1973, с. 219-220.

Онучин А.А., Борисов А.Н. Опыт таксации фитомассы сосновых древостоев. - Лесоведение, 1984, № 6, с. 66-71.

Питикин А.И. Применение методики Мичерлиха для установления оптимальной полноты и выравнивания опытных данных. - Лесн. журн., 1966, № 1, с. 17-19.

Шлохинский Н.А. Математическое оснащение биологов. - В кн.: Методы современ. биометрии. М.: изд-во МГУ, 1978, с. 194-206.

Поздняков Л.К., Протопопов В.В., Горбатенко В.М. Биологическая продуктивность лесов Средней Сибири и Якутии. Красноярск: книжн. изд-во, 1969. - 156 с.

Полякова-Минченко Н.Ф. Облиственение широколиственных насаждений степной зоны. - Сообщ. Лаборатории лесоведения АН СССР, 1961, вып. 4, с. 40-53.

Протопопов В.В. Методологическое значение биогеоценотического подхода в изучении средообразующей роли леса. - В кн.: Пробл. лесн. биогеоценологии. Новосибирск: Наука, 1980, с. 3-14.

Протопопов В.В., Зюбина В.И. Взаимосвязь климатических факторов среди с фитомассой насаждений и методика ее расчета. - В кн.: Эколог. влияние леса на среду. Красноярск: изд. Изд. СО АН СССР, 1977, с. 3-15.

Пугачев В.Ф. Оптимизация плакирования (теоретические проблемы). М.: Экономика, 1968. - 167 с.

Рачко П. Имитационная модель роста дерева. Пострение модели. - Журн. общ. биол., 1978, 39, с. 563-571.

Розенберг Г.С., Феклистов П.А. Прогнозирование годичного прироста древесных растений методами самоорганизации. - Экология, 1982, № 4, с. 43-51.

Синягин И.И. Площади питания растений. М.: Россельхозиздат, 1975. - 384 с.

Смирнов И.М. Материалистическая диалектика и современная теория эволюции. М.: Наука, 1978. - 288 с.

Справочник по таксации лесов Казахстана. Алма-Ата: Ка纤нап, 1980. - 314 с.

Стадницкий Г.В. Экологизация лесоводства. - В кн.: Лесоводство, лесные культуры и почвоведение / Рациональное использование и восстановление лесных ресурсов. Л.: изд. ЛТА, 1984, с. 48-54.

47.

Токмурзин Т.Х., Байзаков С.Б. Рекомендации по таксации надземной массы и освоению древесной зелени сосновых и еловых лесов Казахстана. Алма-Ата: изд. КазСХИ, 1970. - 63 с.

Токмурзин Т.Х., Нурпеисов К.Н. Таблицы хода роста фитомассы древостоев сосны Прииртышья. - Науч. тр./ КазСХИ, 1976, т. XIX, вып. 3, с. 127-136.

Усольцев В.А. Прогнозирование биологической продуктивности березы и осины в колочниковых лесах. - Вестн. с.-х. науки Казахстана, 1983, № 6, с. 69-77.

Усольцев В.А. Многомерная регрессионная оценка надземной фитомассы березы и осины в колочниковых лесах Казахстана и Сибири. - Лесоведение, 1985а, № 1, с. 3-12.

Усольцев В.А. Моделирование структуры и динамики фитомассы древостоев. Красноярск: изд-во Красноярск. ун-та, 1985б. - 191 с.

Усольцев В.А., Крепкий И.С. Закономерности соотношений надземной и подземной фитомассы в сосняках Кустанайской области. - Вестн. с.-х. науки Казахстана, 1984, № 3, с. 73-79.

Усольцев В.А., Крепкий И.С., Прохоров Ю.А. Биологическая продуктивность естественных и искусственных сосновых Аманкарагайского бора. - Вестн. с.-х. науки Казахстана, 1985, № 8, с. 74-79.

Усольцев В.А., Кричун В.М. Закономерности формирования надземной фитомассы березы и осины в колочниковых лесах Северного Казахстана. - Лесоведение, 1982, № 3, с. 41-52.

Усольцев В.А., Макаренко А.А., Аткин А.С. Закономерности формирования надземной фитомассы сосны в Северном Казахстане в связи с густотой. - Лесоведение, 1979, № 5, с. 3-12.

Четыркин Е.М. Статистические методы прогнозирования. М.: Статистика, 1977. - 200 с.

Чиллингурт Д. Структурная устойчивость математических моделей. Значение методов теории катастроф. - В кн.: Математ. моделирование. М.: Мир, 1979, с. 249-276.

Яблоков А.С. Культура лиственницы и уход за насаждениями. М.: Гослесбумиздат, 1934. - 128 с.

Ågren G.I. Problems involved in modelling tree growth. - Stud. Forest. Suec., 1981, N 160, 7-18.

Ando T. Growth analysis on the natural stands of Japanese red pine (*Pinus densiflora* Sieb. et Zucc.). II. Analysis of

stand density and growth. - Bull. Government Forest Exper. Station, 1962, N 147, 45-77.

Curtis R.O. A method of estimation of gross yield of Douglas-fir. - Forest Sci.- Monograph, 1967, N 13. - 24 pp.

Grigal D.F., Kernik L.K. Generality of black spruce biomass estimation equations. - Can.J.Forest Res., 1984, v.14, N 3, 468-470.

Pielou E.C. The usefulness of ecological models: a stock-taking. - Quart.Rev.Biol., 1981, v.56, N 1, 17-31.

Pollanschütz J. Wuchsleistungsanalysen auf der Basis temporärer Probeflächen. - Wiss.Z.Techn.Univers.Dresden, 1968, Bd.17, N 6, 1707-1713.

Satoo T. Production and distribution of dry matter in forest ecosystems. - Misc.Inform.Tokyo Univ.Forests, 1966, N 16, 1-15.

Schneider T.W., Kreysa J. Dynamische Wachstums- und Ertragsmodelle für die Douglasie und die Kiefer. - Mitt.Bundesforschungsanst.für Forst- und Holzwirtschaft. - Hamburg-Reinbek, 1981, N 135. - 137 s.

Thom R., Zeeman E.C. Catastrophe theory: its present state and future perspectives. - In: Dynamical systems. Lecture notes in mathematics. Warwick, 1974. B.:Springer, 1975, v.468, N 4, 366-389.

Содержание

стр.

I. Многомерный регрессионный анализ как метод исследования биопродуктивности древостоев.....	I
2. Принципы составления таблиц биопродуктивности.....	6
3. Биопродуктивностный подход к исследованию оптимальных и предельных ценотических состояний древостоев....	30
Заключение.....	42
Литература.....	44

Типография Института леса и дровасины им. В.Н.Сукачева
СО АН СССР. 660036, Красноярск, Академгородок.
Заказ № 189 , объем _____ п.л. Тираж 150 экз.
Подписано к печати 4.09.85 АИ 10466